



Hafta_7

INS308

Zemin Mekanlığı II

Yanal Zemin Basınçları

Doç. Dr. İnan KESKİN

inankeskin@karabuk.edu.tr, inankeskin@gmail.com

www.inankeskin.com

ZEMİN MEKANIĞI

Haftalık Konular

Hafta 1:	Zemin Etütleri Amacı ve Genel Bilgiler
Hafta 2:	Kıl Minarelli ve Zemin Yapısı
Hafta 3:	Zeminlerde Kayma Direnci Kavramı, Yenilme Teorileri
Hafta 4:	Zeminlerde Kayma Direncinin Ölçümü; Serbest Basınç Deneyi, Kesme Kutusu Deneyi, Üç Eksenli Basınç Deneyi, Vane Kanatlı sonda Deneyi
Hafta 5:	Zeminlerde Kayma Direncinin Belirlenmesine Yönelik Deneyler; Laboratuvar Uygulaması
Hafta 6:	Zeminlerde Kayma Direncinin Belirlenmesine Yönelik Problem Çözümleri
Hafta 7:	Yanal Zemin Basınçları
Hafta 8:	Yanal Zemin Basınçları; Uygulamalar
Hafta 9:	Yamaç ve Şevlerin Stabilitesi; Temel Kavramlar
Hafta 10:	Yamaç ve Şevlerin Stabilitesi Örnek Problemler
Hafta 11:	Zeminlerin Taşıma Gücü; Sığ Temeller
Hafta 12:	Zeminlerin Taşıma Gücü; Kazıklı Temeller
Hafta 13:	Zemin Sıvılaşması ve Analizi
Hafta 14:	İleri Zemin Mekanığı Problem Çözümleri
Hafta 15:	Bu ders için Ara Sınav, 7. ve 15. haftalar arasındaki bir tarihte yapılır. Sınavın yapıldığı tarihten itibaren konular bir hafta ileri alınır.

YANAL TOPRAK BASINCI

Yanal zemin basınçları; zeminler tarafından düşey veya düşeye yakın yapılar üzerine uygulanan basınçlardır. Hem normal hem de kesme gerilmeleri içerebilirler.

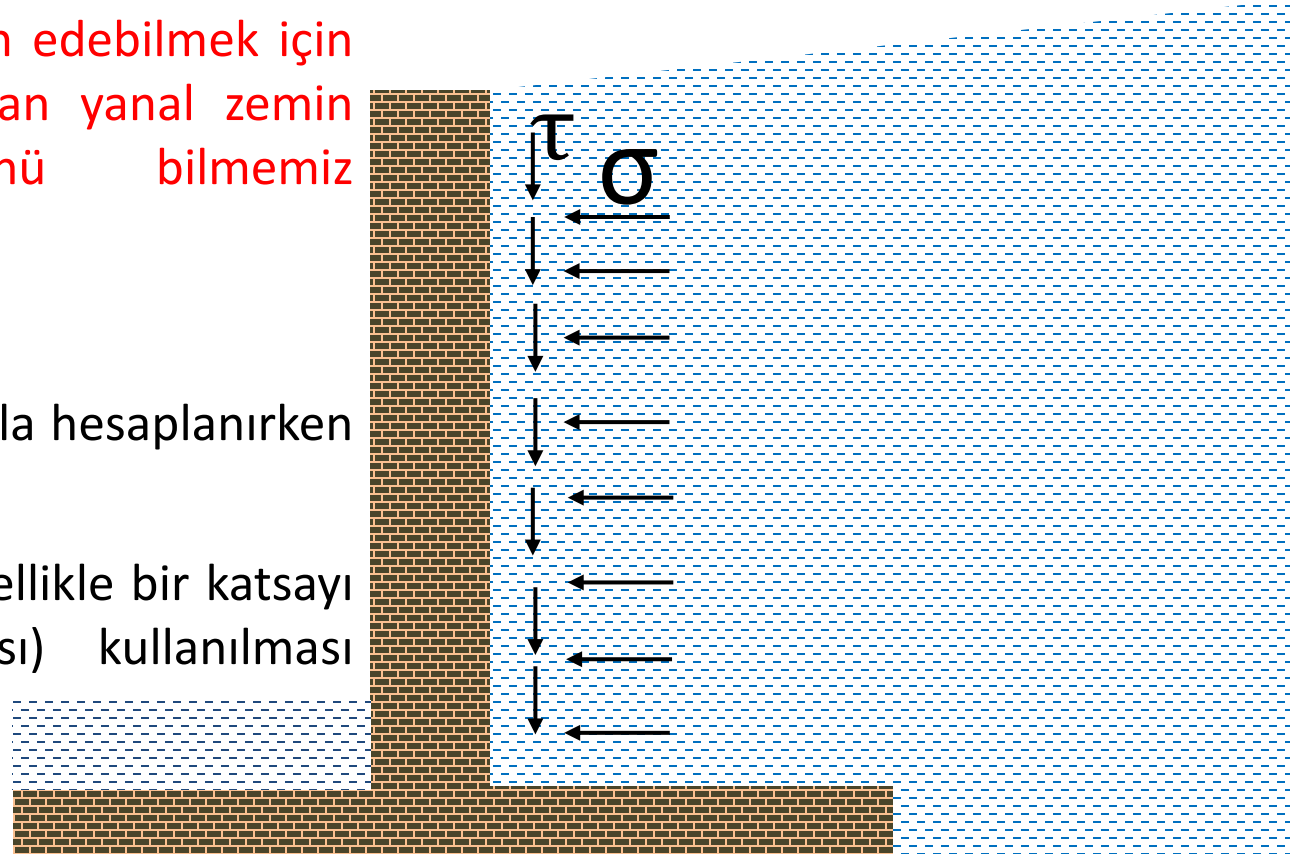
Zemini farklı iki düzeye tutan ve yanal zemin basınçlarının etkisinde olan **dayanma yapılarının** hesaplanması (boyutlandırılması–projelendirilmesi) için, onlara gelen yanal toprak basınçlarının bilinmesi gereklidir.

Dayanma yapılarını dizayn edebilmek için bu yapılara etkiyecek olan yanal zemin basıncının büyüklüğünü bilmemiz gerekmektedir.

Zemin Mekanlığında;

Düşey gerilmeler kolaylıkla hesaplanırken
 $(\sigma_v = \gamma * z)$

Yatay gerilmeler için genellikle bir katsayı
(toprak basıncı katsayısı) kullanılması tercih edilmektedir.

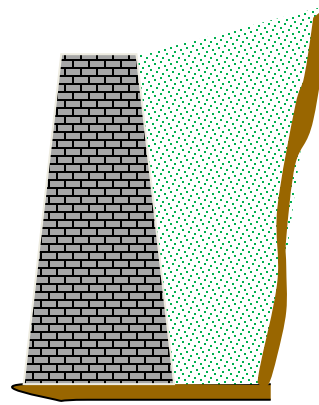


YANAL TOPRAK BASINCI

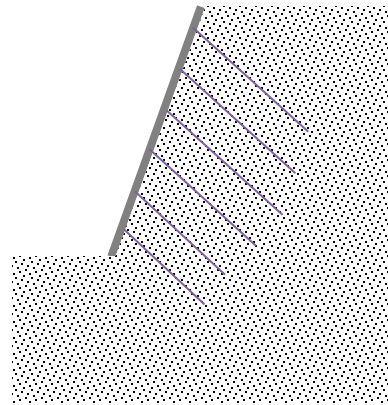


YANAL TOPRAK BASINCI

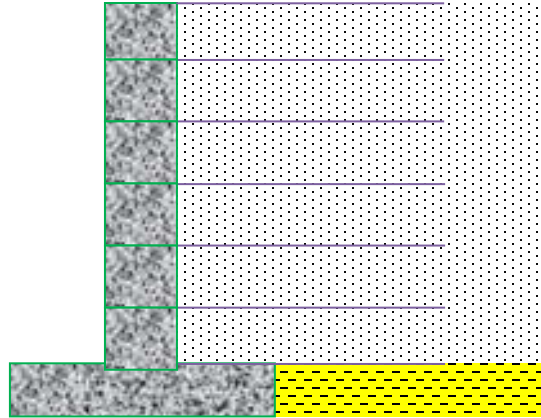
Yapılara gelen bu yanal toprak basınçlarını karşılamak için çeşitli istinat yapıları inşa edilmesi zorunlu olmaktadır.



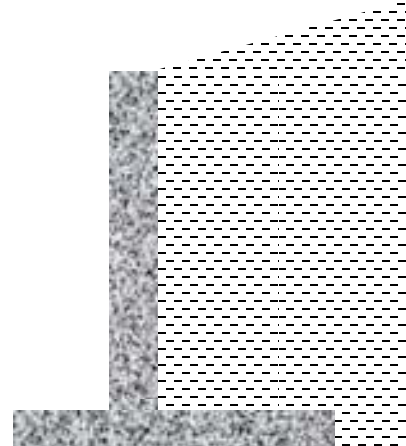
Ağırlık tipi istinat duvarı



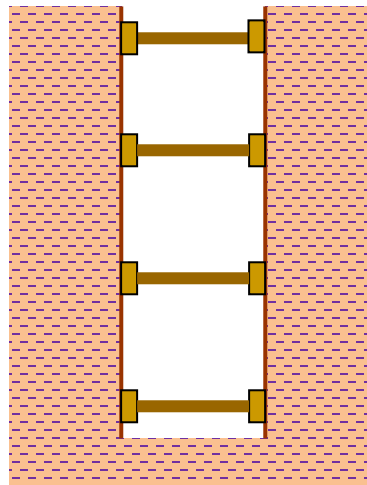
Zemin Çivisi



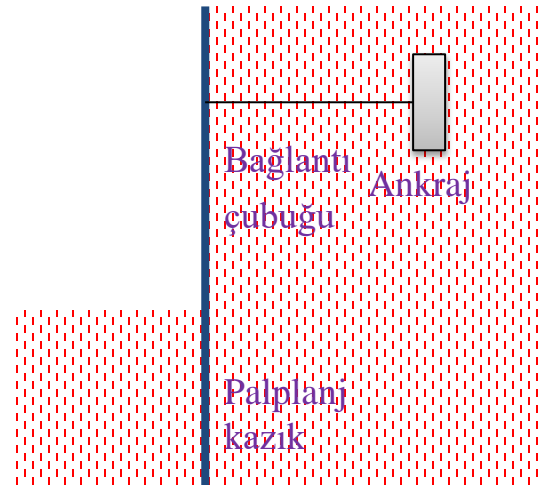
Toprakarme



Konsol istinat duvarı

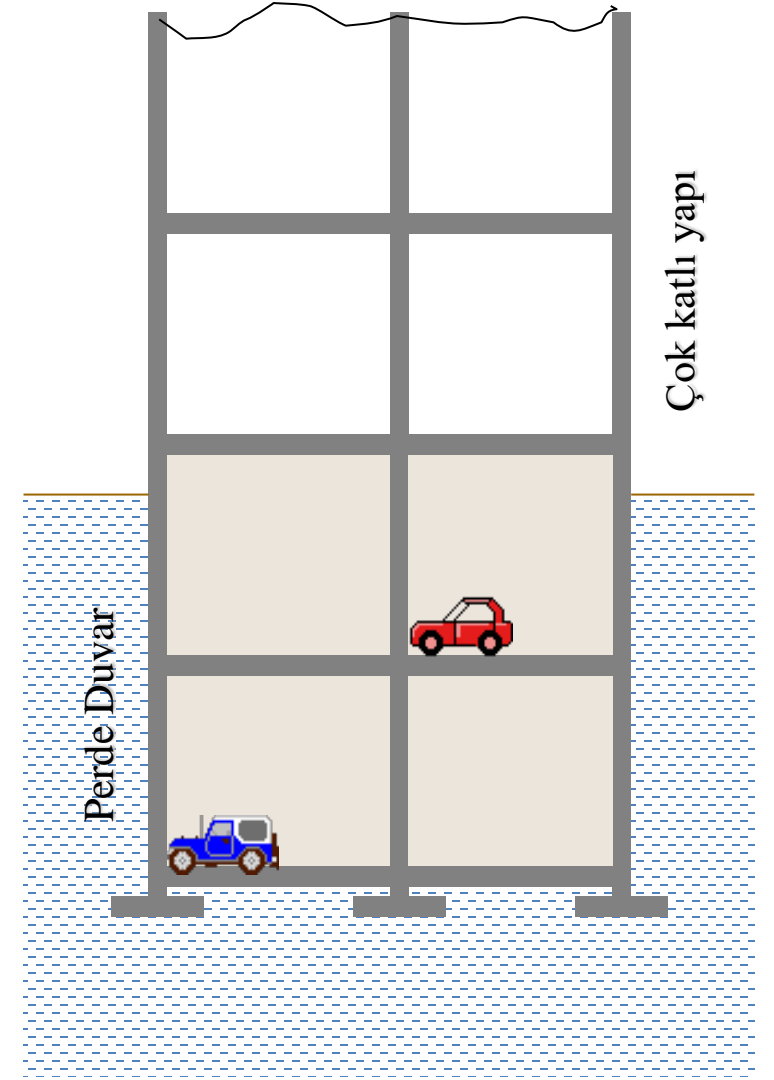
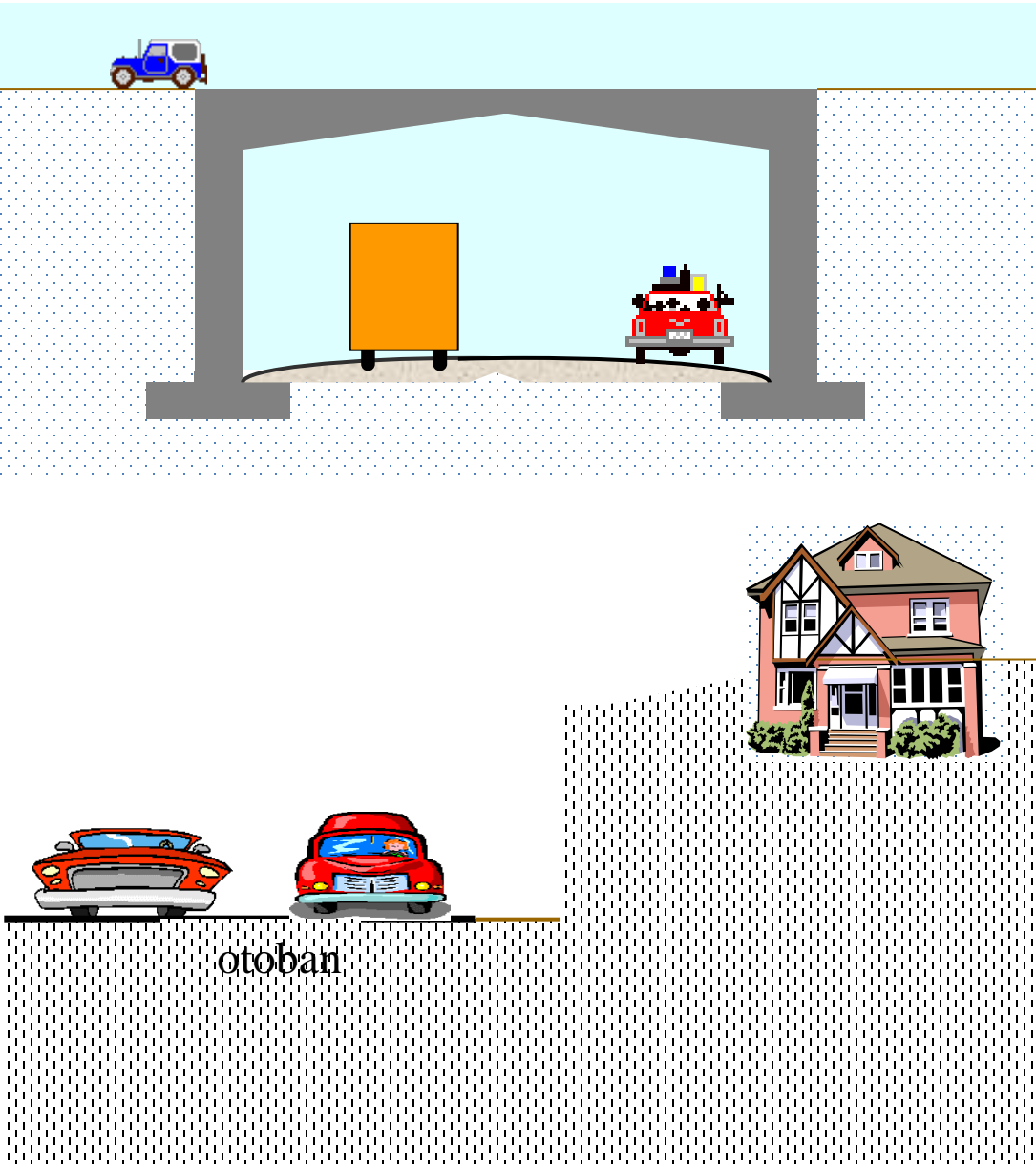


Destekli kazı



Ankrajlı palplanj kazık

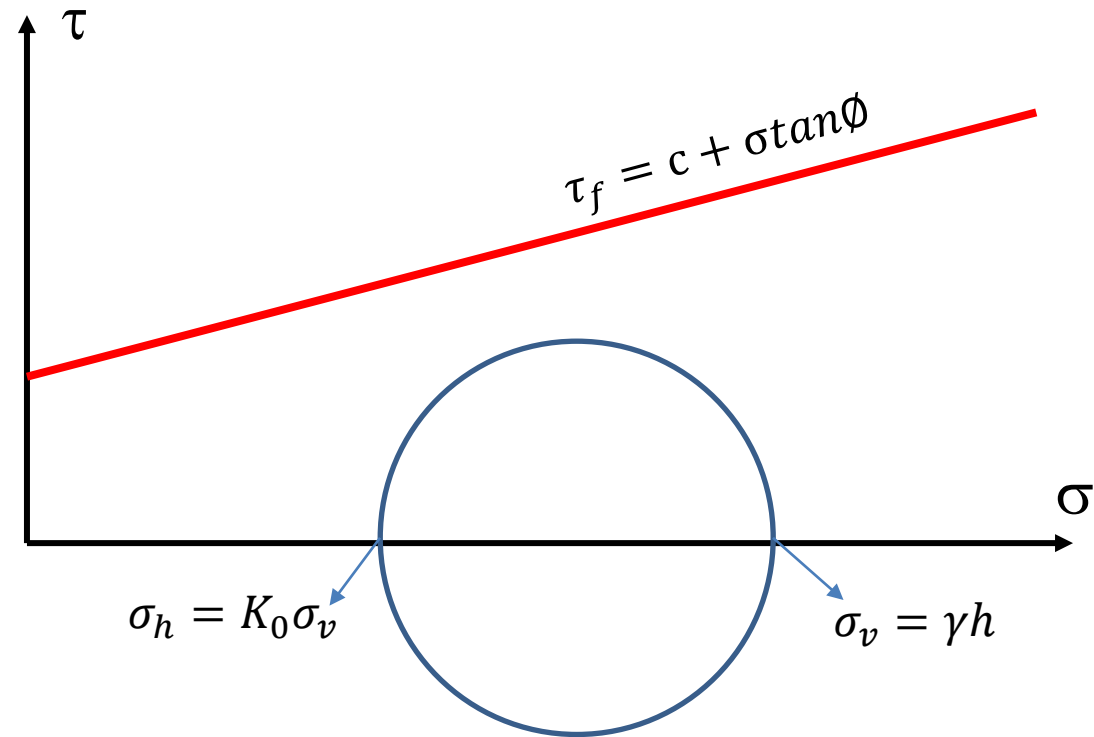
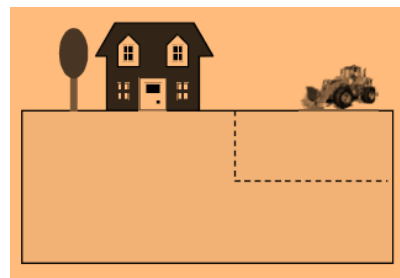
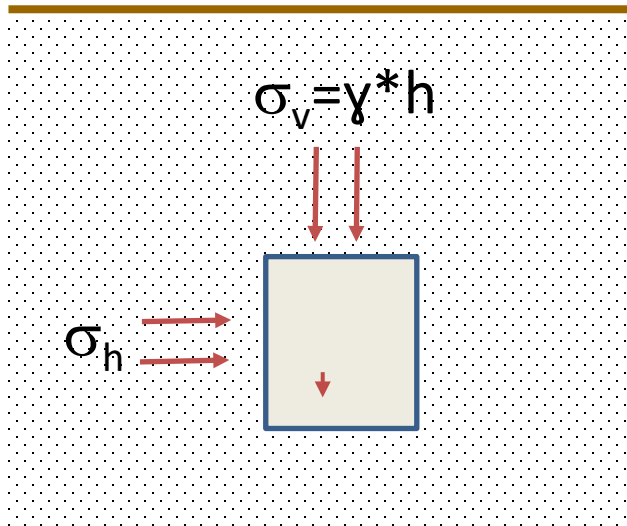
YANAL TOPRAK BASINCI



Çok katlı yapı

YANAL TOPRAK BASINCI

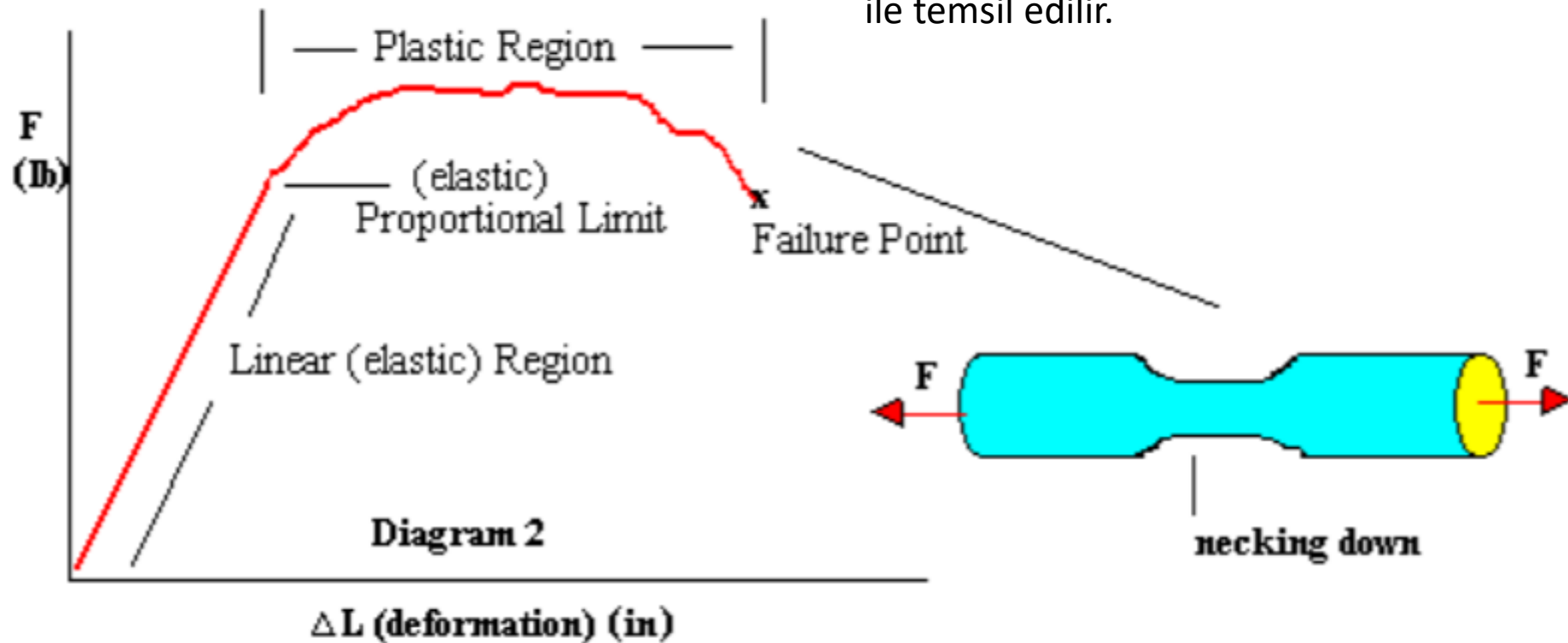
Suyun kayma direncinin sıfır olması nedeniyle hidrostatik durumda suda yatay ve düşey basınçlar eşittir. Zemin gibi taneli malzemeler kayma direncine sahiptir ve bu nedenle ortamdaki yatay ve düşey gerilmeler eşit değildir.



Bir ortam elastik denge durumunda ise gerilmedeki küçük bir artış küçük miktarda deformasyona neden olur. Gerilme artmaya devam ettirilerek zemin kayma mukavemetine yaklaştırıldığında gerilme artırılmamasına rağmen deformasyonların artışı görülür. Artık zemin akma haline geçmiştir ve bu duruma **plastik denge** denir.

HATIRLATMA

Malzemenin direnci uygulanan gerilmeden düşükse yenilme meydana gelir ve PLASTİK DENGЕ olarak isimlendirilir. Bu durum gerilme dairelerinin kırılma zarfına teğet olmaları ile temsil edilir.



Zeminin her noktasında kırılma veya yenilme oluştüğü duruma plastik denge denir.

SÜKÜNETTEKİ TOPRAK BASINÇLARI

Sükünetteki durum yatay deplasmanın olmadığı durumu yansıtır. Sükünetteki durumda zemin elastik bölgdededir. Homojen bir zemin tabakası içerisindeki bir zemin elemanı üzerinde etkiyen, yatay efektif gerilmenin düşey efektif gerilmeye oranı, σ_h'/σ_v' , sükünetteki toprak basınç katsayıları, K_0 , olarak ifade edilir. K_0 durumunda bulunan bir zemin kütlesinde yanal yönde deformasyonlar gözlenmez.

$$\text{Toprak Basıncı Katsayıısı} = K = K_0 = \frac{\sigma_h}{\sigma_v}$$

K₀' IN Tahmin Edilmesi

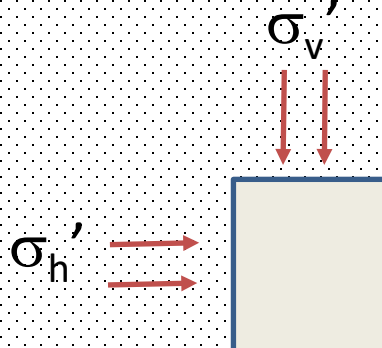
Normal konsolidde killer ve kohezyonsuz zeminler için,

$$K_0 = 1 - \sin \phi'$$

Aşırı konsolidde killer için,

$$K_{0,\text{aşırı konsolidde}} = (1 - \sin \phi') \text{OCR}^{0.5}$$

Elastisite teorisinden yararlanılarak



$$K_0 = \frac{\nu}{1 - \nu}$$

Poisson oranı

SÜKÜNETTEKİ TOPRAK BASINÇLARI

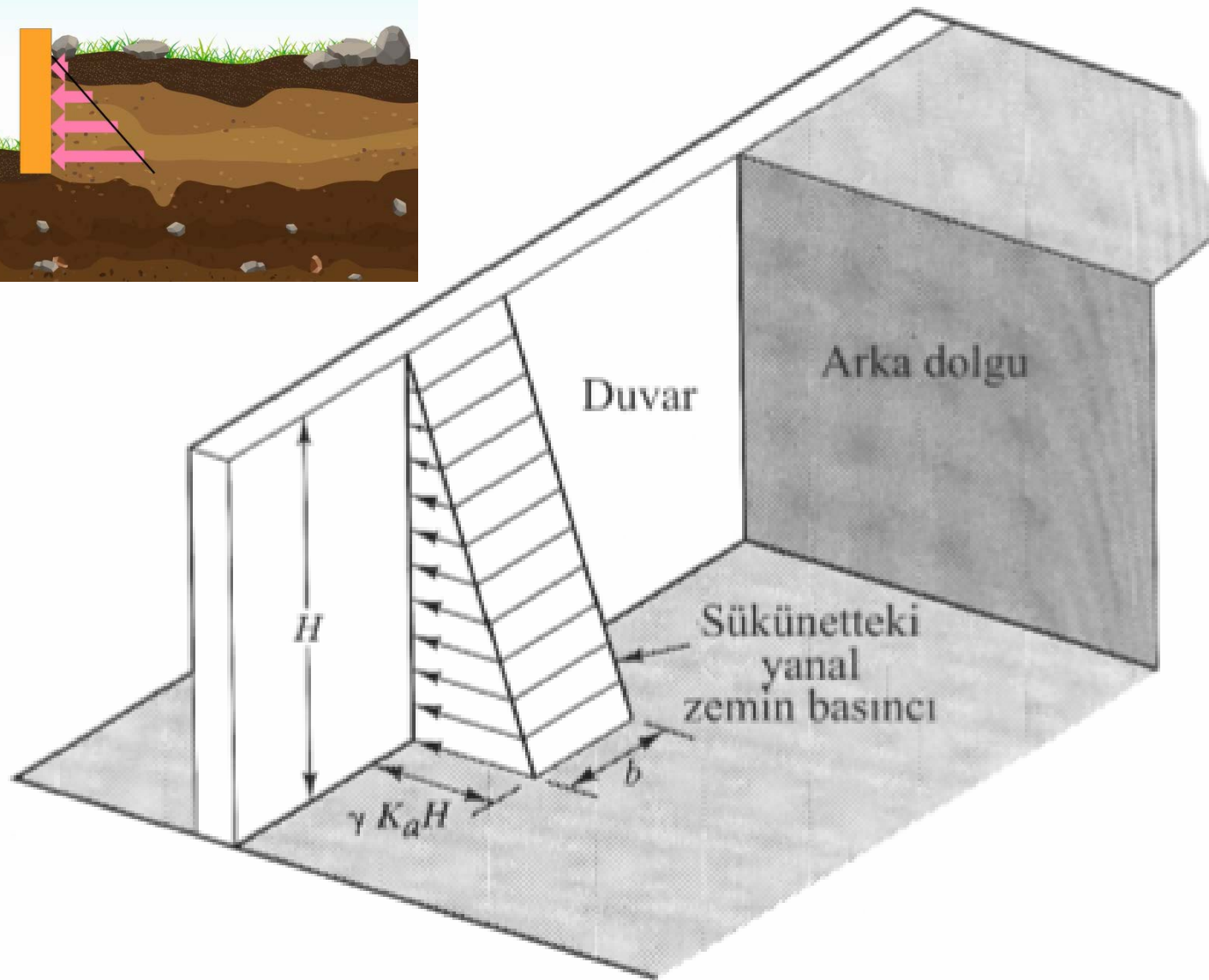
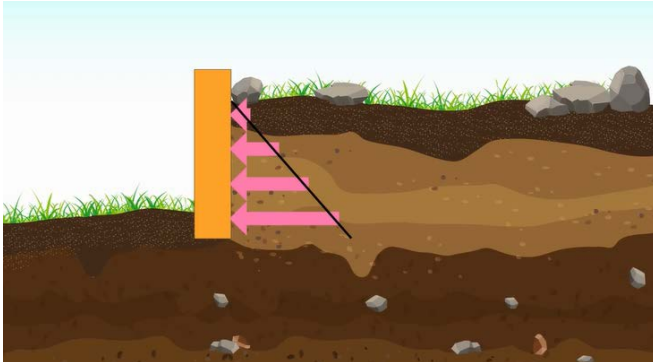
Tipik K_0 değerleri;

$$K_0 = \frac{\nu}{1 - \nu}$$

Poisson oranı

Zemin Cinsi	ν için Tipik Değerler	K_0
Kil	Doygun	0.40-0.50
	Doygun Olmayan	0.10-0.30
Kumlu Kil		0.20-0.30
Silt		0.30-0.35
Kum	Sıkı	0.20-0.40
	İri ($e=0.4-0.7$)	0.15
	İnce ($e=0.4-0.7$)	0.25
Kaya		0.10-0.40

SÜKÜNETTEKİ TOPRAK BASINÇLARI

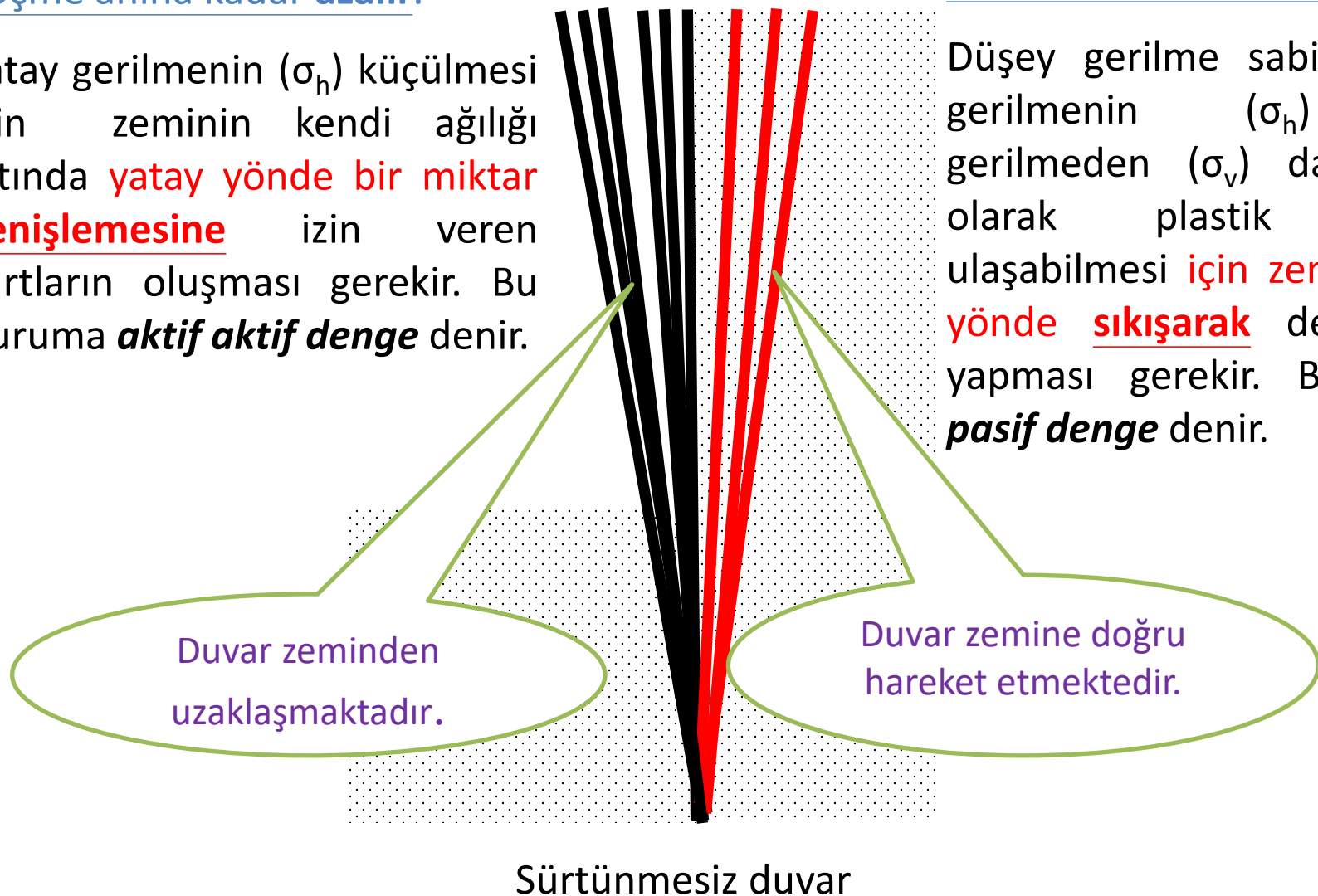


Sükünet koşullarında istinat duvarı üzerine etkiyen basınç

ZEMİNLERDE AKTİF/PLASTİK DENGЕ

Zemin duvar dışına hareket ettiğinde, σ_v sabit kalır; ve σ_h göçme anına kadar azalır.

Yatay gerilmenin (σ_h) küçülmesi için zeminin kendi ağılığı altında **yatay yönde bir miktar genişlemesine** izin veren şartların olması gereklidir. Bu duruma **aktif aktif denge** denir.

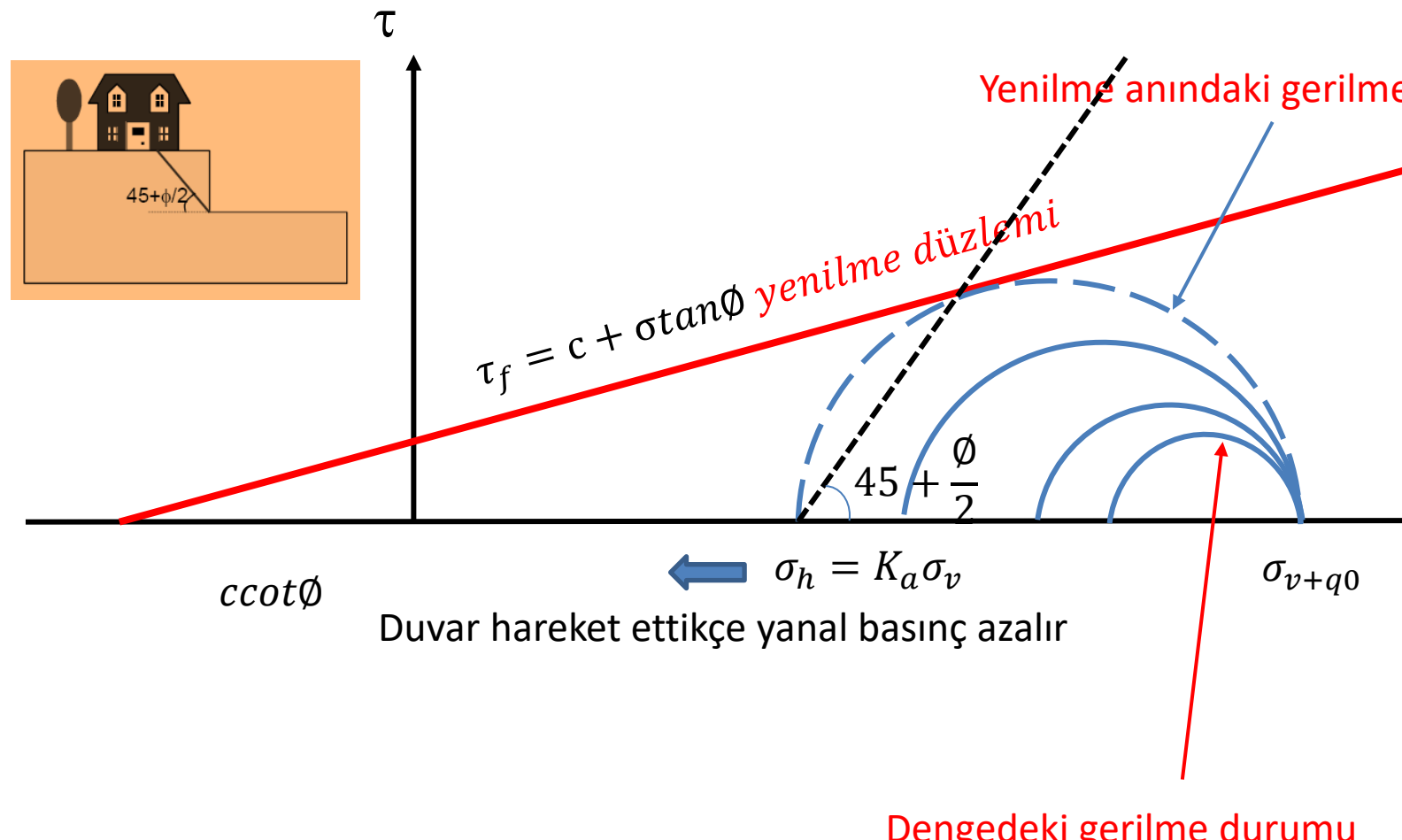


Duvar zemine hareket ettiğinde, σ_v sabit kalır; ve σ_h göçme anına kadar artar.

Düsey gerilme sabitken yatay gerilmenin (σ_h) düsey gerilmeden (σ_v) daha büyük olarak plastik dengeye ulaşabilmesi **icin zeminin yatay yönde sıkışarak** deformasyon yapması gereklidir. Bu duruma **pasif denge** denir.

ZEMİNLERDE AKTİF/PLASTİK DENGЕ

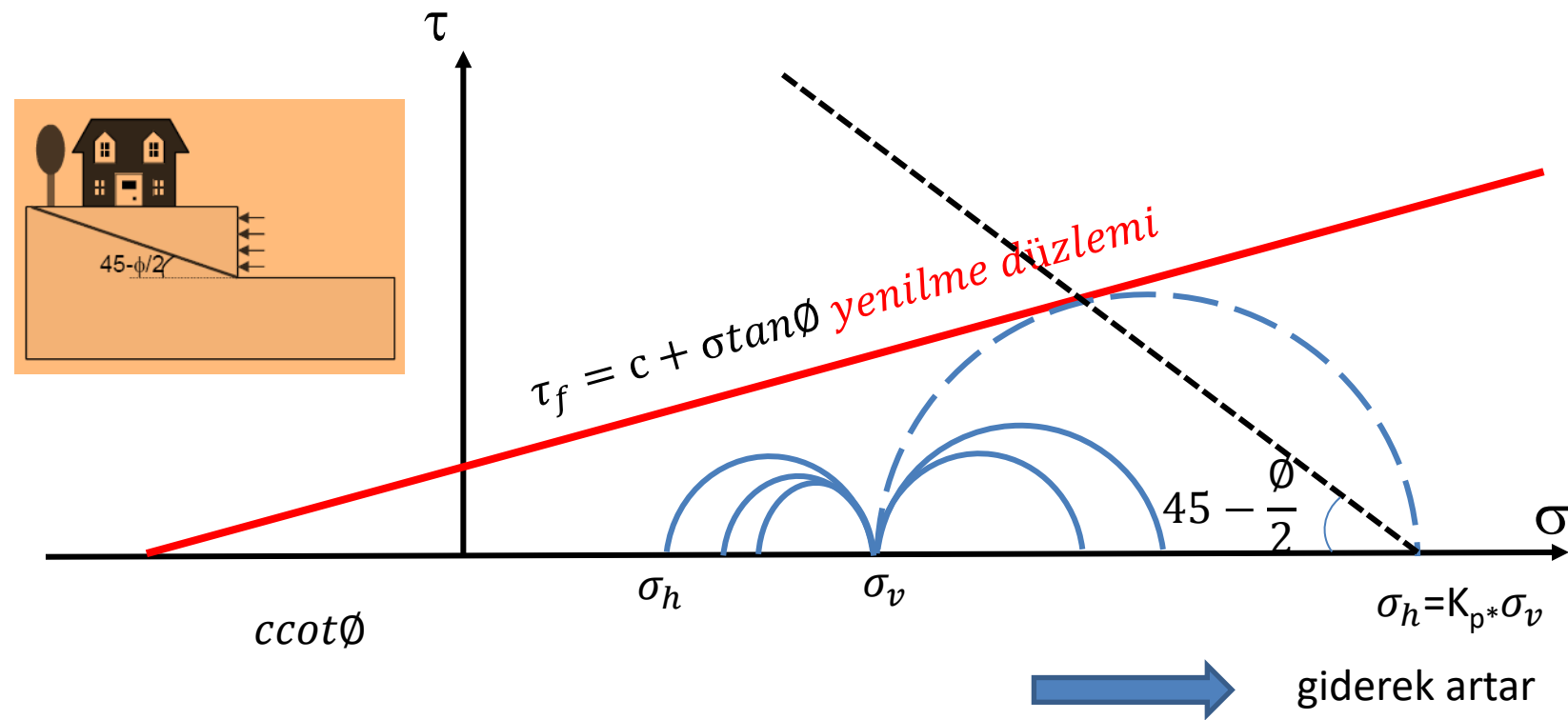
Mohr daireleri ile aktif durum



Şekilde de görüleceği üzere **duvar zeminden uzağa doğru** hareket ettikçe yanal zemin basıncı yenilene kadar azalır.

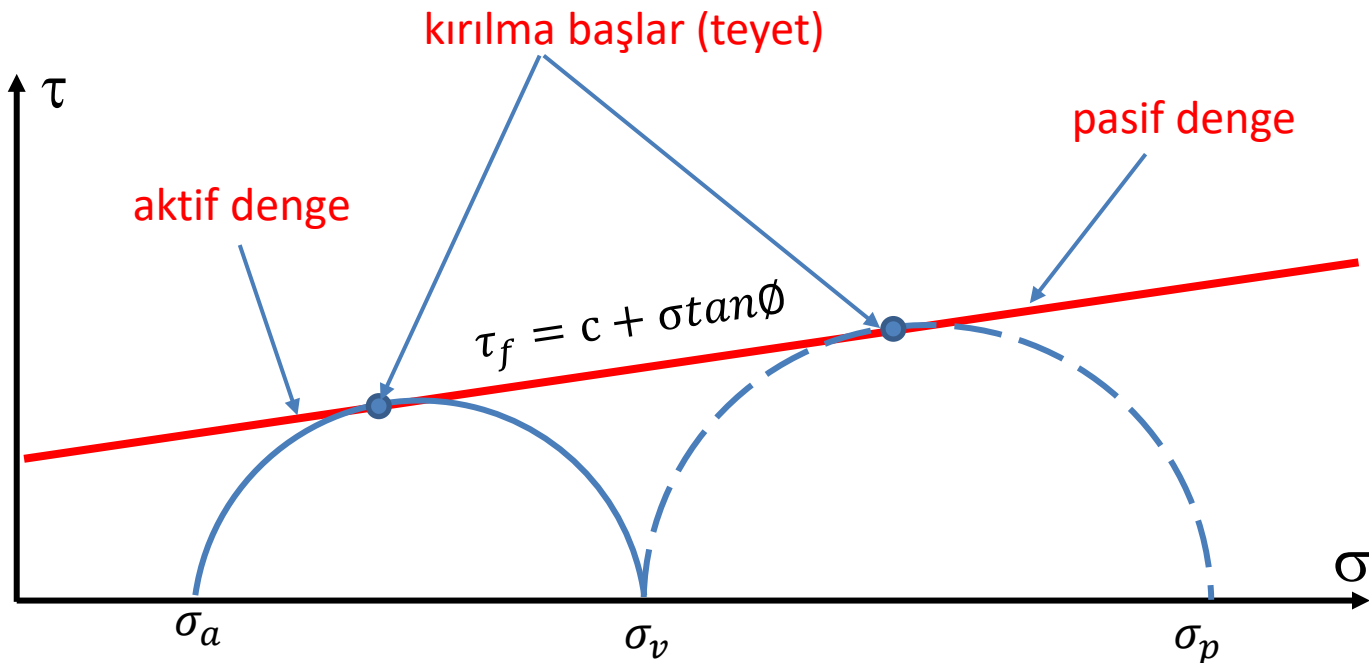
ZEMİNLERDE PASİF/PLASTİK DENGЕ

Mohr daireleri ile pasif durum

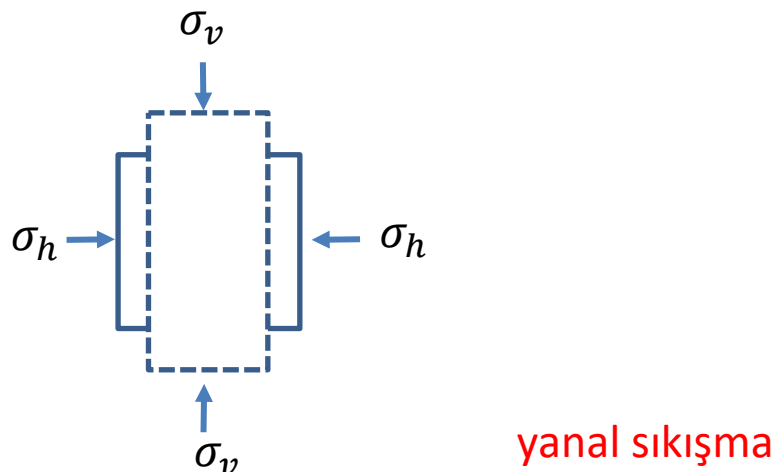
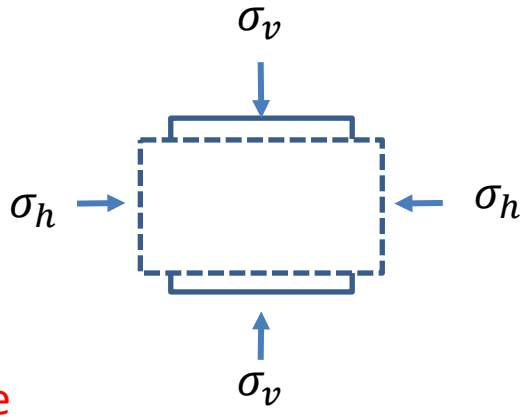


Şekilde de görüleceği üzere **Duvar zemin kütlesine doğru** hareket ettikçe yanal zemin basıncı artmaya başlar.

ZEMİNLERDE AKTİF-PASİF/PLASTİK DENGE



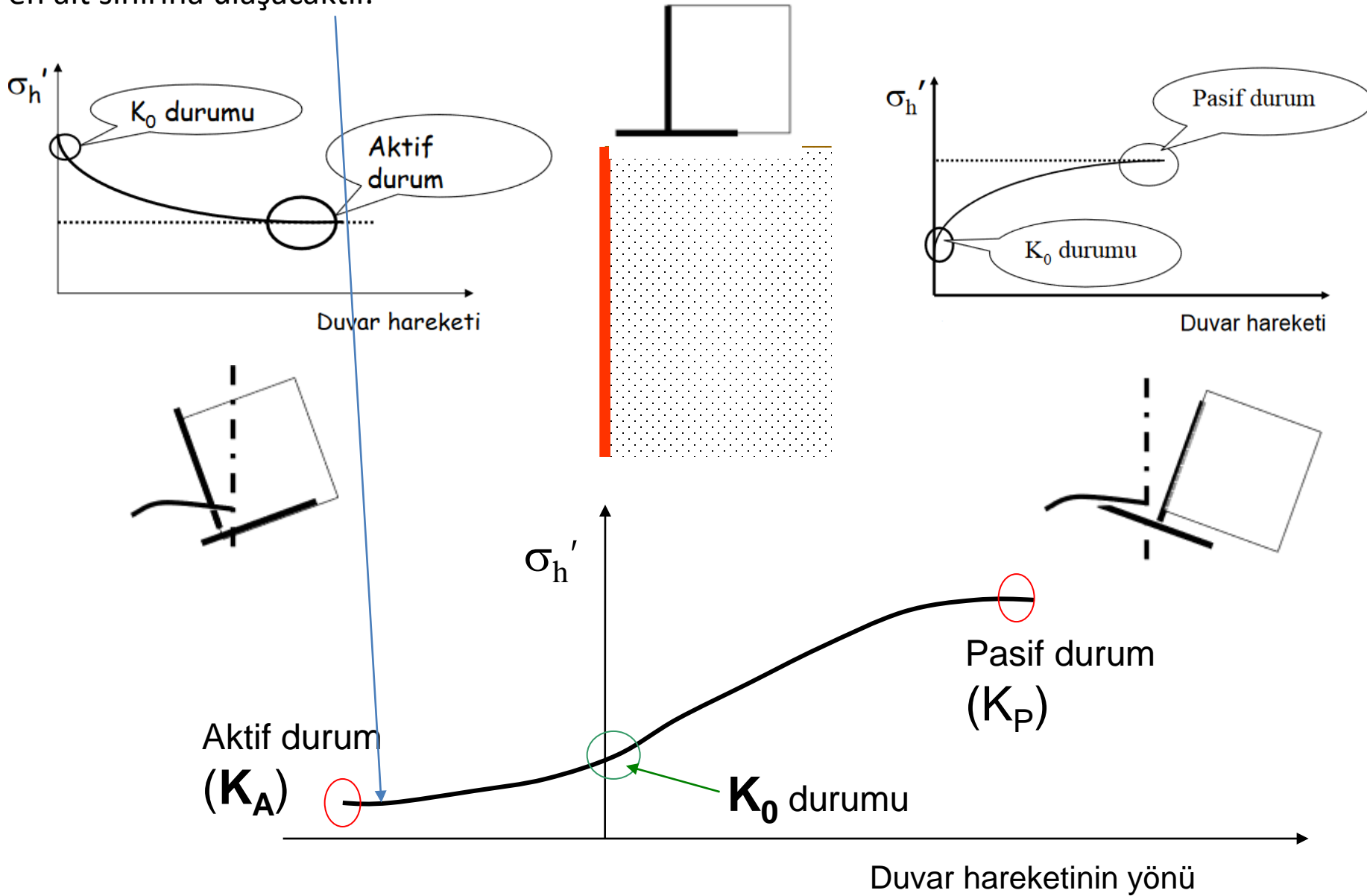
Aktif durumda; zemin duvara doğru hareket eder!! yanal genişleme olur



Pasif durumda; duvar zemine doğru hareket eder!! yanal sıkışma oluşur.

ZEMİNLERDE AKTİF-PASİF/PLASTİK DENGЕ

Zemin aktif koşula ulaştığı zaman, zemindeki yatay gerilme (ve böylece duvara etkiyen basınç) en alt sınırına ulaşacaktır.



ZEMİNLERDE AKTİF/PLASTİK DENGЕ

Aktif koşula erişmek Tablo'da gösterildiği gibi zemin tipine ve duvar yüksekliğine bağlıdır. Örneğin, **gevşek kohezyonsuz** bir zeminde, duvar dolgudan dışa doğru sadece **0,004H'ye kadar bir mesafe (3 metre yüksekliğinde bir duvar için yaklaşık 12 mm)** hareket ederse aktif duruma ulaşılır.

Zemin türü	Aktif koşula erişmek için gerekli yatay hareket
Sıkı, kohezyonsuz	0,001H
Gevsek, kohezyonsuz	0,004H
Sert, kohezyonlu	0,010H
Yumuşak, kohezyonlu	0,020H

H = duvar yüksekliği

Kohezyonsuz zeminler kumları ve çakılları içerir

Kohezyonlu zeminler kıl içeriği yüksek zeminlerdir.

ZEMİNLERDE PASİF/PLASTİK DENGЕ

Pasif koşula ulaşmak için aktif koşulda olandan daha fazla hareket meydana gelmelidir. Çeşitli zeminler için gerekli tipik hareketler Tablo'da verilmiştir

Zemin türü	Pasif koşula erişmek için gerekli yatay hareket
Sıkı, kohezyonsuz	0,020H
Gevşek, kohezyonsuz	0,060H
Sert, kohezyonlu	0,020H
Yumuşak, kohezyonlu	0,040H

H = duvar yüksekliği

Kohezyonsuz zeminler kumları ve çakılları içerir

Kohezyonlu zeminler kıl içeriği yüksek zeminlerdir.

W.J. MACQUORN RANKİNE TOPRAK BASINCI TEORİSİ

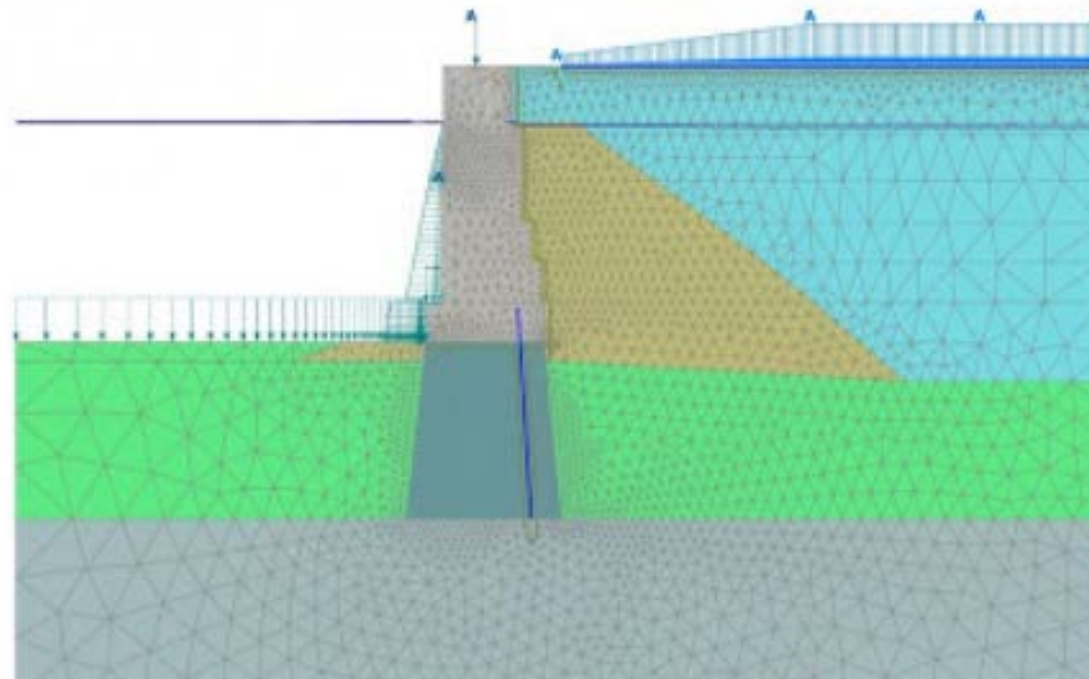
1820 -1872



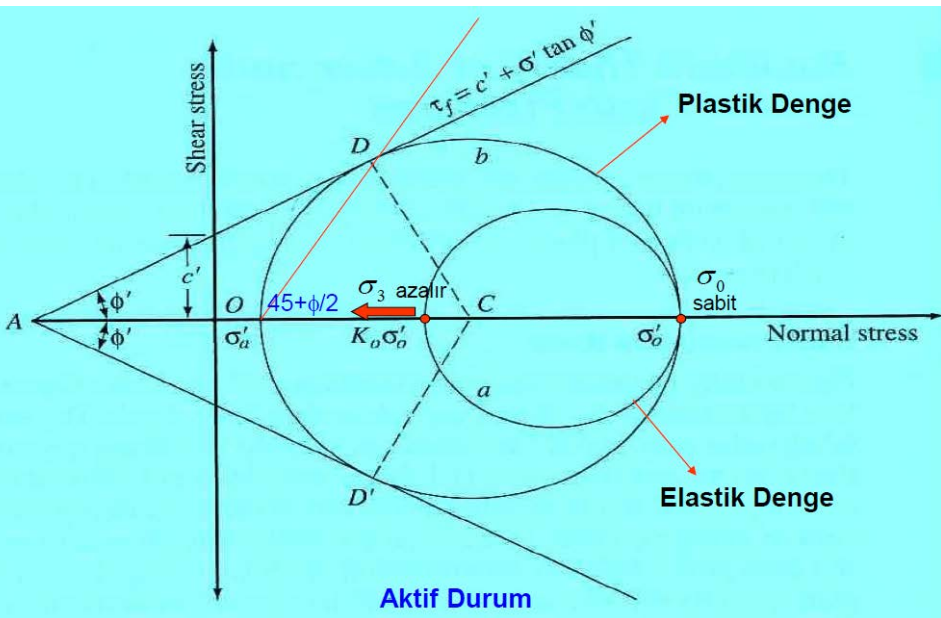
Rankine teorisi aşağıdaki varsayımlara dayanır.

1. Duvar arkasındaki zemin homojen ve izotroptur.
2. Kayma direnci ϕ ile ifade edilir.
3. Duvar arkasında zemin üçgen ve rijit kama şeklinde kırılır.
4. Duvarla zemin arasında sürtünme yoktur ve duvar rijittir.
5. Kırılma iki boyutlu bir problemdir.

Oysa, zemin homojen olabilse bile izotrop değildir. Eğik sırtlı beton duvarın dolgusu kum ile yapıldığı zaman duvar ile zemin arasında önemli düzeyde sürtünme açısı belirir.



RANKİNE AKTİF TOPRAK BASINCI TEORİSİ



$$\sigma_1 = \sigma_3 N_\phi + 2c\sqrt{N_\phi}$$

$$\sigma_v \quad \sigma_h = \sigma_a$$

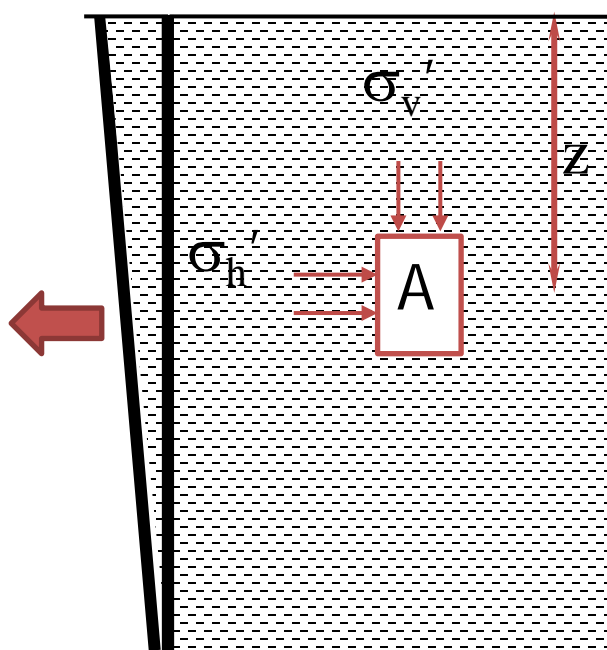
$$N_\phi = \tan^2(45 + \frac{\phi}{2})$$

$$\frac{1}{N_\phi} = \tan^2 \left(45 - \frac{\phi}{2} \right) = K_a$$

$$\sigma_a = \frac{\sigma_v - 2c\sqrt{N_\phi}}{N_\phi} = \sigma_a = \frac{\sigma_v}{N_\phi} - \frac{2c}{\sqrt{N_\phi}}$$

$$\sigma_a = \sigma_v \tan^2 \left(45 - \frac{\phi}{2} \right) - 2c \tan \left(45 - \frac{\phi}{2} \right)$$

$$\sigma_a = \sigma_v K_a - 2c\sqrt{K_a}$$



RANKİNE AKTİF TOPRAK BASINCI TEORİSİ

Duvar zeminden uzaklaşacak yönde hareket eder.

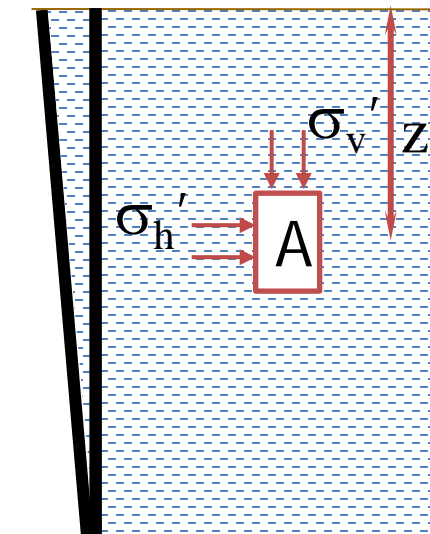
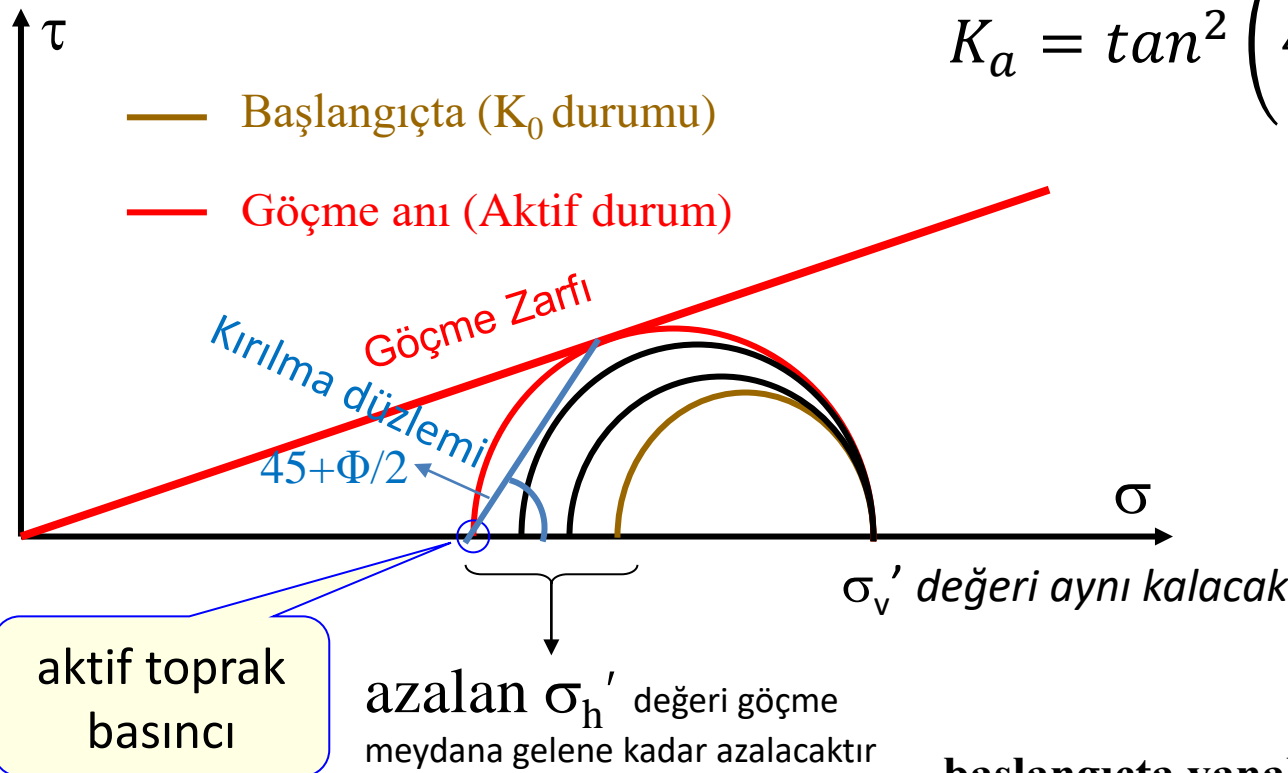
$$\sigma_a = \sigma_v K_a \text{ Kumlu Zeminler}$$

$$\sigma_a = \sigma_v K_a - 2c\sqrt{K_a} \text{ Killi Zeminler}$$

Daha Genel bir ifadeyle;

$$\sigma_a = \gamma z K_a - 2c\sqrt{K_a}$$

$$K_a = \tan^2 \left(45 - \frac{\phi}{2} \right) = \frac{1 - \sin\phi}{1 + \sin\phi}$$

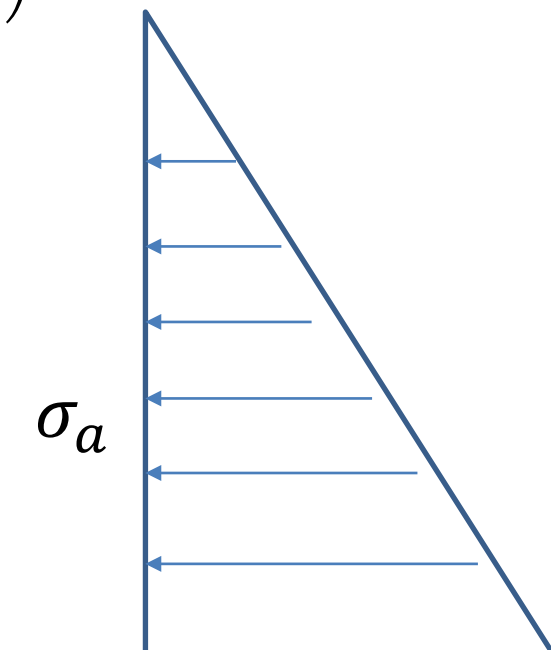
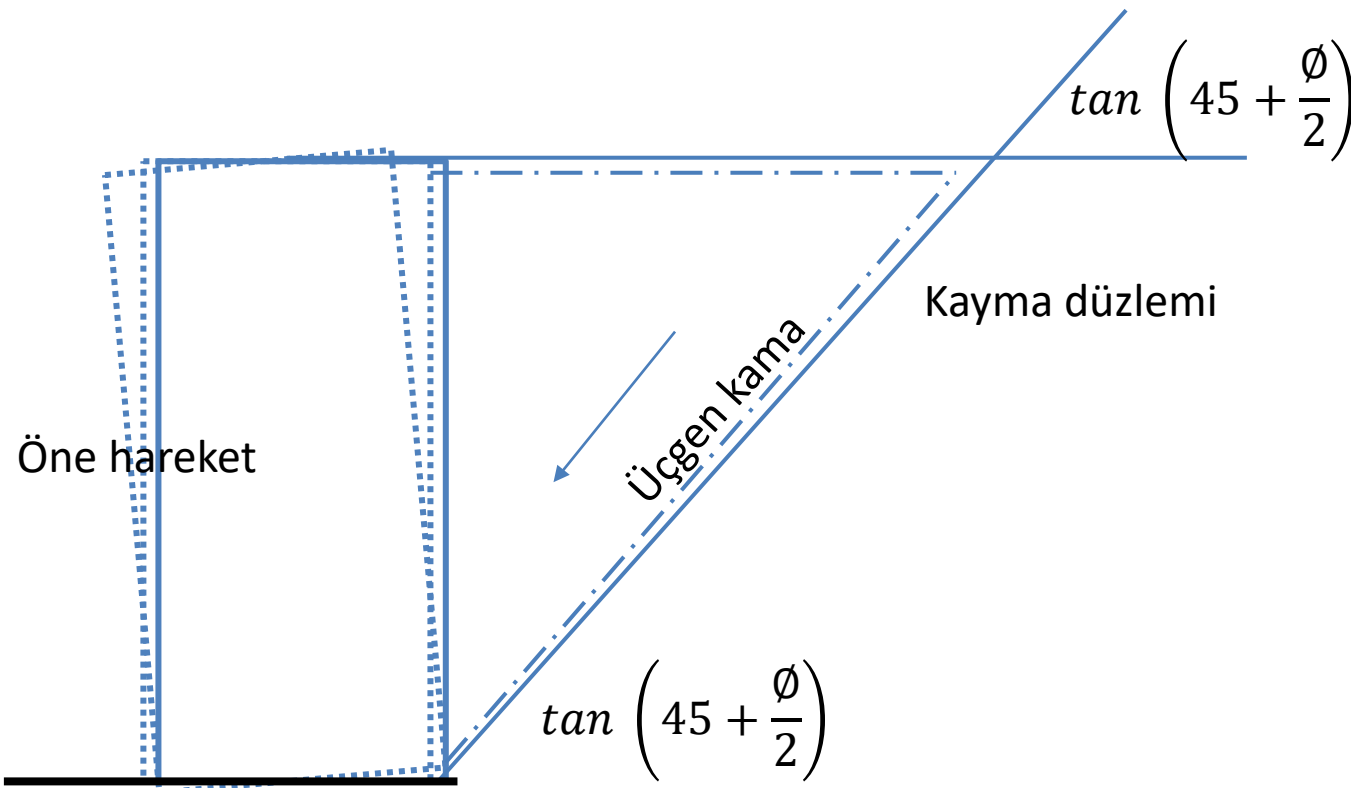


başlangıçta yanal yönde bir hareket yoktur.

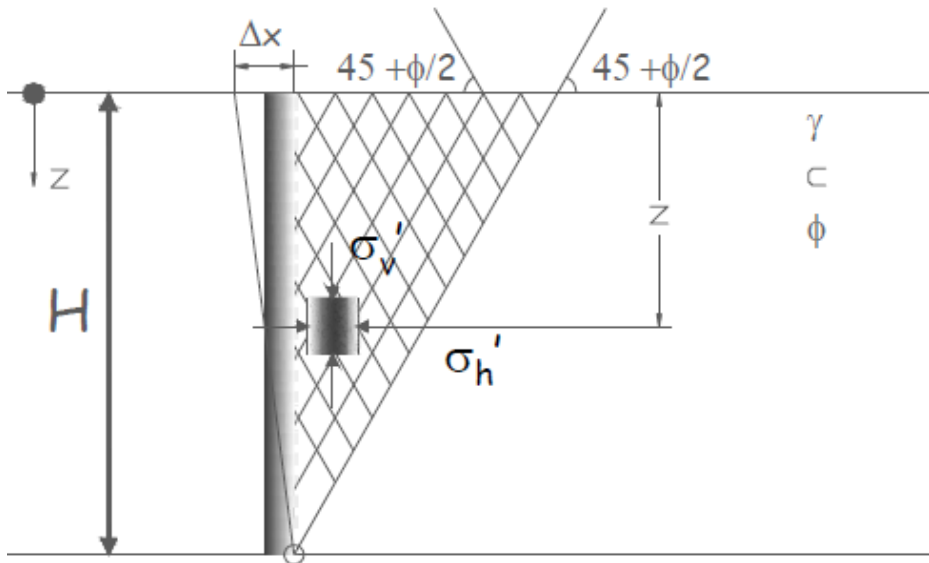
RANKİNE AKTİF TOPRAK BASINCI TEORİSİ

Duvar arkası zeminde aktif durum oluşur bu durumda aktif yanal zemin basınçları düşey yüzlü duvar arkasına yatay olarak etkiler ($\delta=0$).

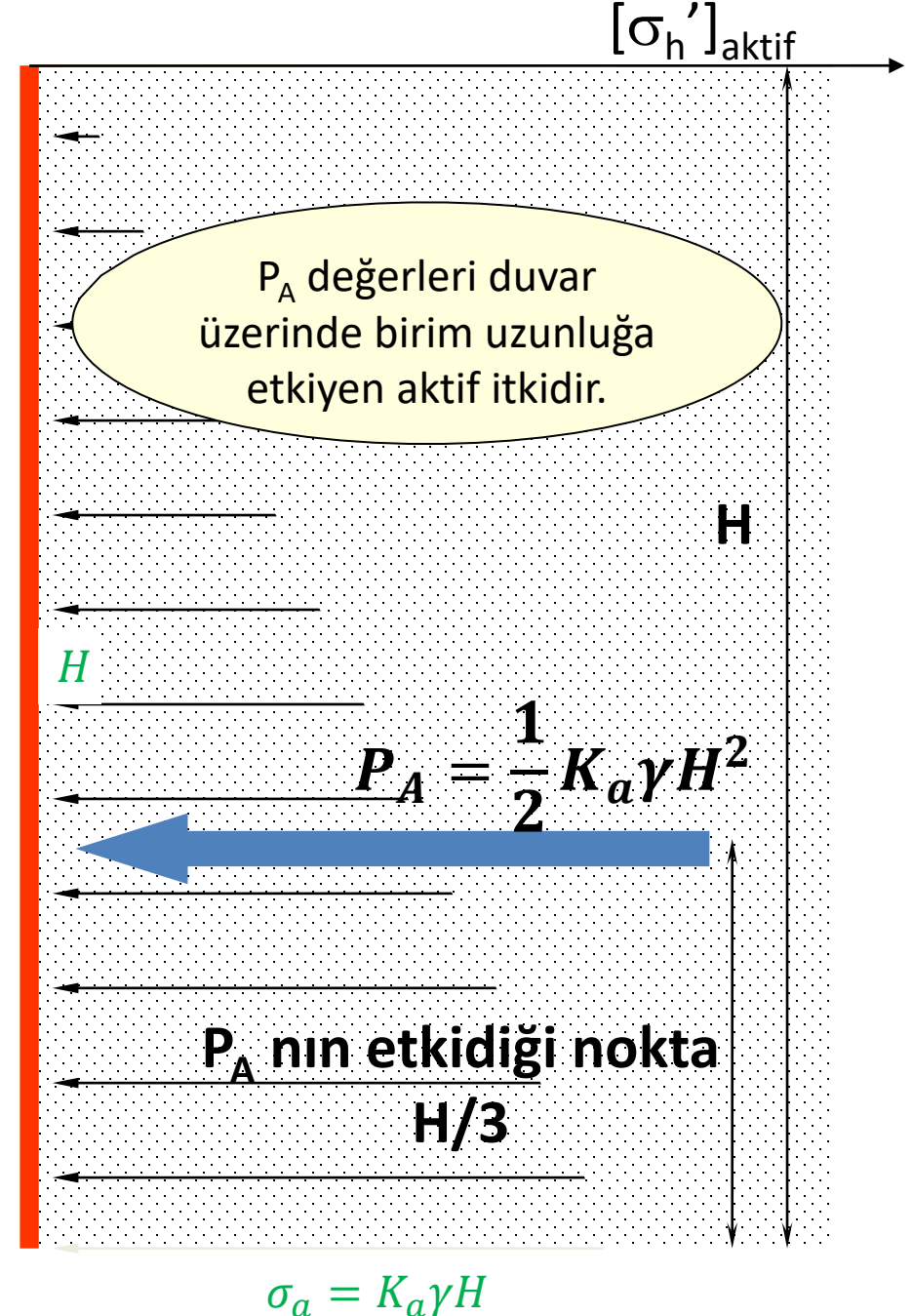
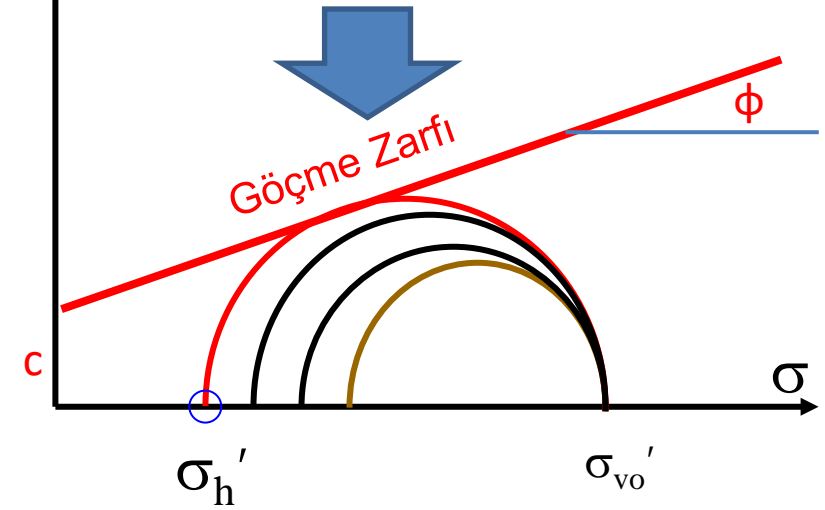
Kırılma açısı (Yenilme Kamasının Açısı)



RANKİNE AKTİF TOPRAK BASINCI DAĞILIMI

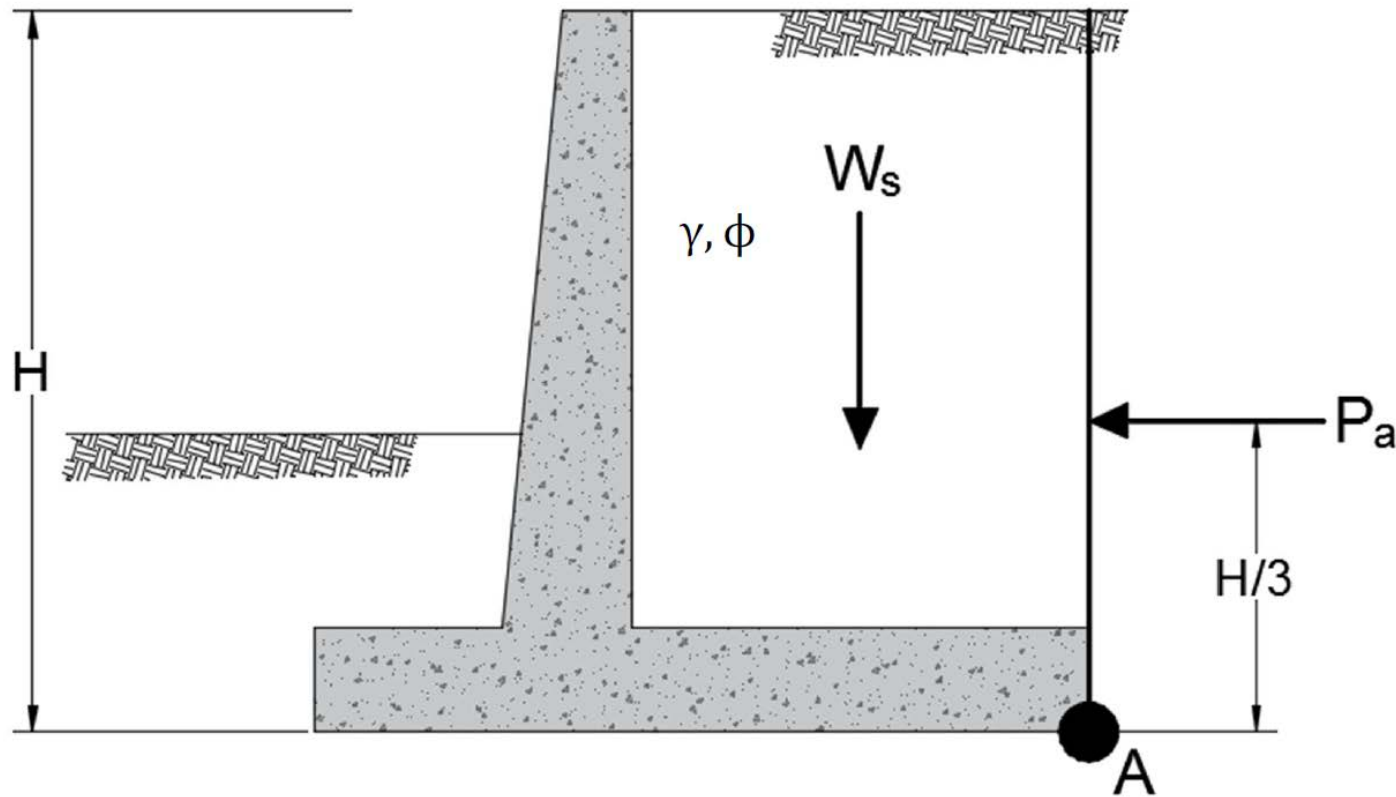


Duvar zeminden uzağa doğru hareket ettikçe yanal zemin basıncı yenilene kadar azalır.



RANKİNE AKTİF TOPRAK BASINCI DAĞILIMI

Duvar Dik Dolgu Yatay

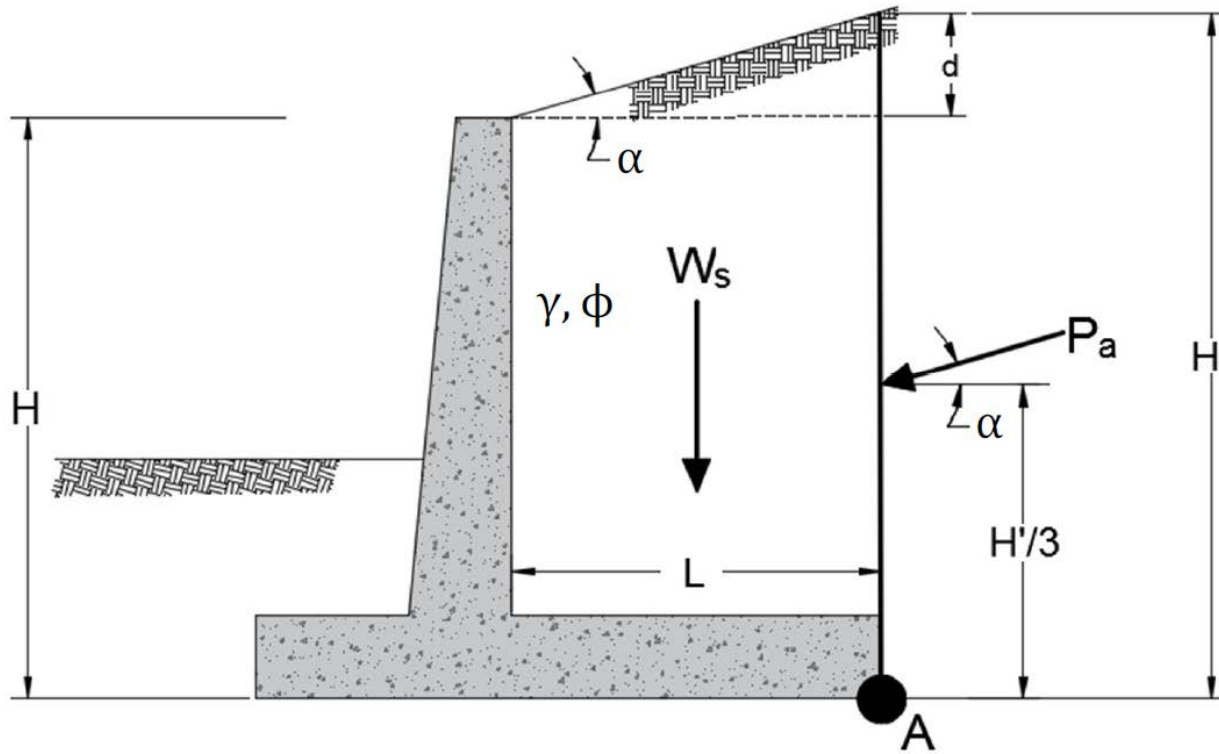


$$K_a = \tan^2 \left(45 - \frac{\phi}{2} \right)$$

$$P_A = \frac{1}{2} K_a \gamma H^2$$

RANKİNE AKTİF TOPRAK BASINCI DAĞILIMI

Duvar Dik Dolgu Yatay ile α Eğimli



$$K_a = \cos\alpha \frac{\cos\alpha - \sqrt{(\cos^2\alpha - \cos^2\phi)}}{\cos\alpha + \sqrt{(\cos^2\alpha - \cos^2\phi)}}$$

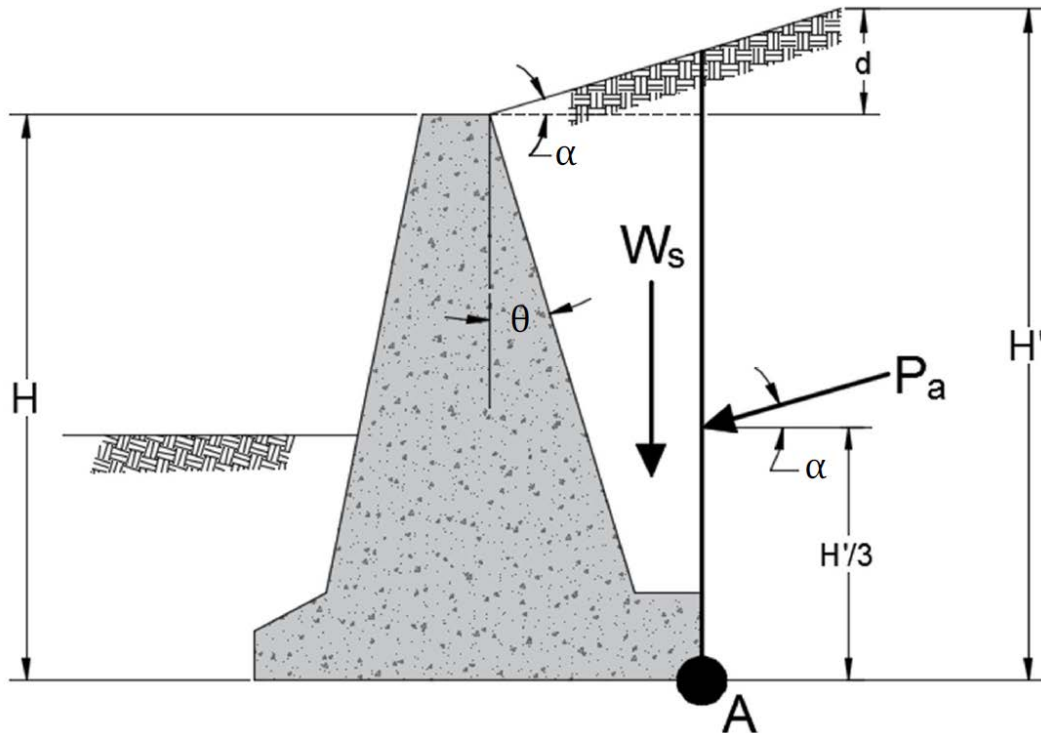
$$P_A = \frac{1}{2} K_a \gamma H'^2$$

$$K_p = \cos\alpha \frac{\cos\alpha + \sqrt{(\cos^2\alpha - \cos^2\phi)}}{\cos\alpha - \sqrt{(\cos^2\alpha - \cos^2\phi)}}$$

$$P_{AH} = P_A * \cos\alpha$$
$$P_{AV} = P_A * \sin\alpha$$

RANKİNE AKTİF TOPRAK BASINCI DAĞILIMI

Duvar θ eğimli Dolgu Yatay ile α Eğimli



$$K_a = \frac{\cos(\alpha - \theta) \sqrt{1 + \sin^2 \phi - 2 \sin \phi \cos \psi_a}}{\cos^2 \theta (\cos \alpha + \sqrt{\sin^2 \phi - \sin^2 \alpha})}$$

$$\psi_a = \sin^{-1} \left(\frac{\sin \alpha}{\sin \phi} \right) - \alpha + 2\theta$$

$$P_A = \frac{1}{2} K_a \gamma H'^2$$

$$P_{AH} = P_A * \cos \alpha$$

$$P_{AV} = P_A * \sin \alpha$$

RANKİNE AKTİF TOPRAK BASINCI DAĞILIMI

Rankine active earth pressure coefficients K_a Table:

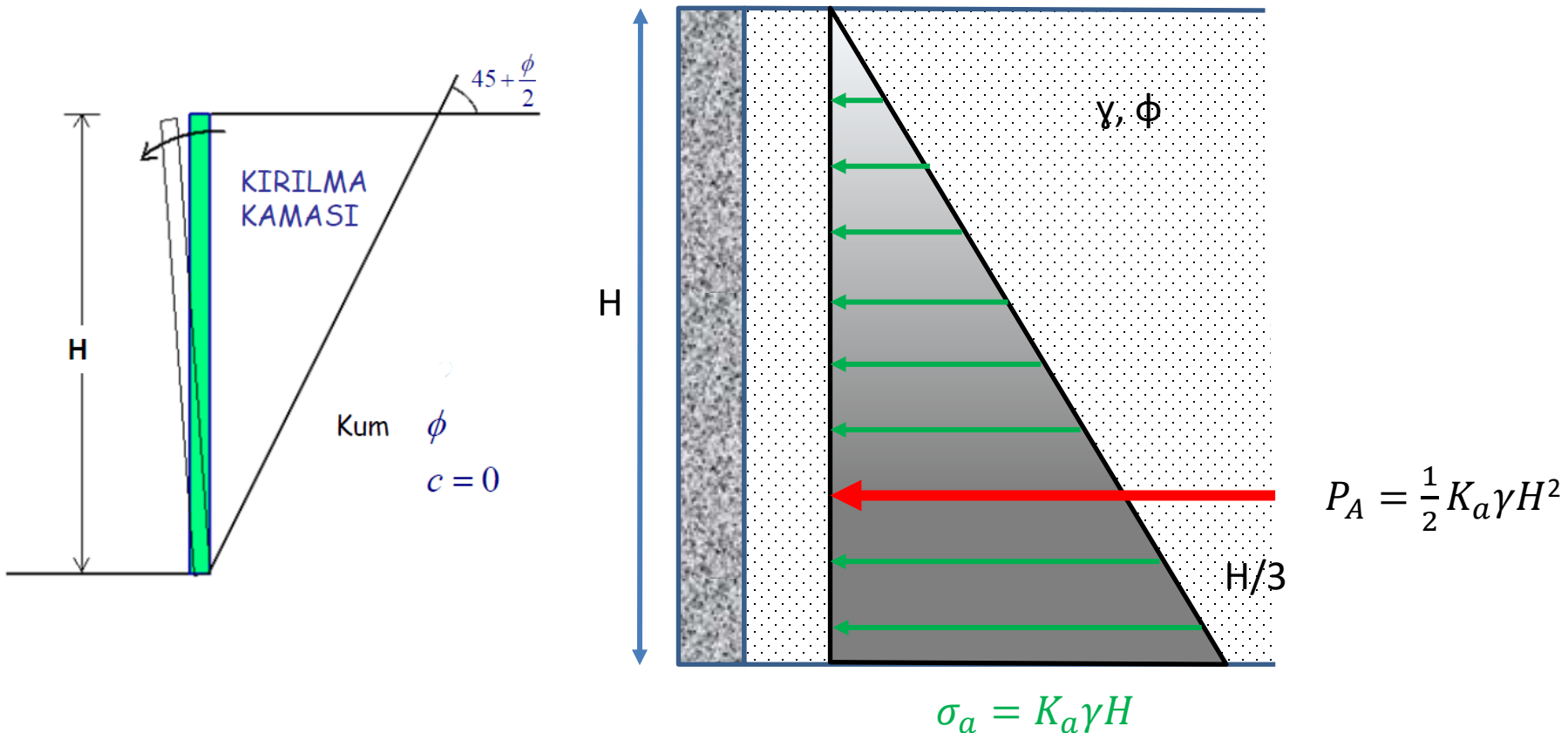
β	$\phi = 26$	28	30	32	34	36	38	40	42
0	0.3905	0.3610	0.3333	0.3073	0.2827	0.2596	0.2379	0.2174	0.1982
5	0.3959	0.3656	0.3372	0.3105	0.2855	0.2620	0.2399	0.2192	0.1997
10	0.4134	0.3802	0.3495	0.3210	0.2944	0.2696	0.2464	0.2247	0.2044
15	0.4480	0.4086	0.3729	0.3405	0.3108	0.2834	0.2581	0.2346	0.2129
20	0.5152	0.4605	0.4142	0.3739	0.3381	0.3060	0.2769	0.2504	0.2262
25	0.6999	0.5727	0.4936	0.4336	0.3847	0.3431	0.3070	0.2750	0.2465
30	—	—	0.8660	0.5741	0.4776	0.4105	0.3582	0.3151	0.2784
35	—	—	—	—	—	0.5971	0.4677	0.3906	0.3340
40	—	—	—	—	—	—	—	0.7660	0.4668

Rankine passive earth pressure coefficients K_p Table:

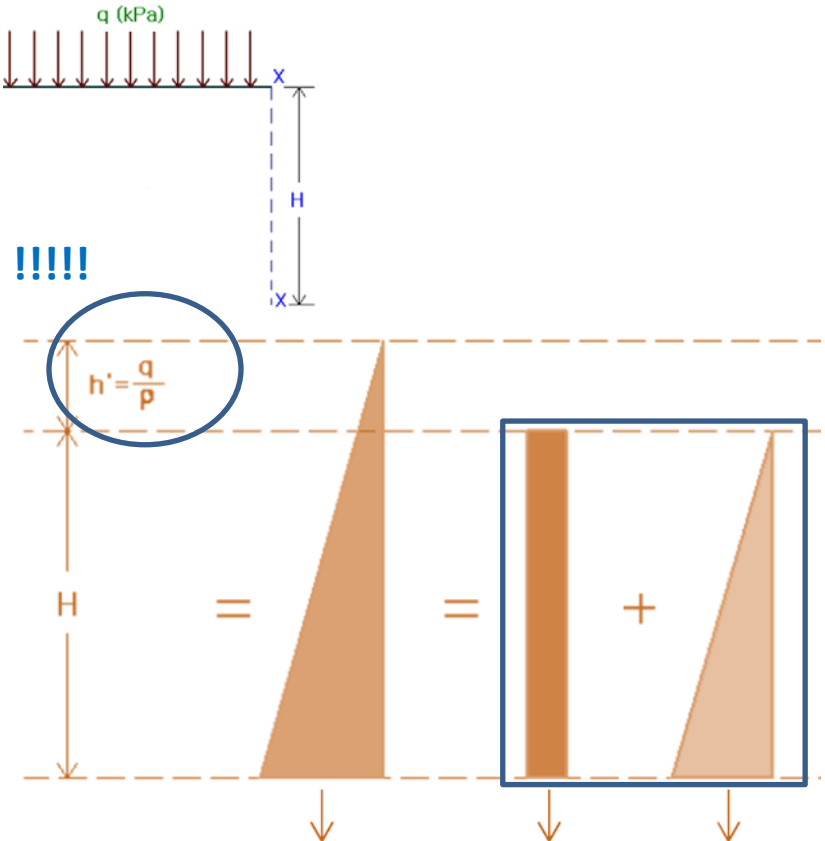
β	$\phi = 26$	28	30	32	34	36	38	40	42
0	2.5611	2.7698	3.0000	3.2546	3.5371	3.8518	4.2037	4.5989	5.0447
5	2.5070	2.7145	2.9431	3.1957	3.4757	3.7875	4.1360	4.5272	4.9684
10	2.3463	2.5507	2.7748	3.0216	3.2946	3.5980	3.9365	4.3161	4.7437
15	2.0826	2.2836	2.5017	2.7401	3.0024	3.2926	3.6154	3.9766	4.3827
20	1.7141	1.9176	2.1318	2.3618	2.6116	2.8857	3.1888	3.5262	3.9044
25	1.1736	1.4343	1.6641	1.8942	2.1352	2.3938	2.6758	2.9867	3.3328
30	—	—	0.8660	1.3064	1.5705	1.8269	2.0937	2.3802	2.6940
35	—	—	—	—	—	1.1239	1.4347	1.7177	2.0088
40	—	—	—	—	—	—	—	0.7660	1.2570

ZEMİN YÜZEYİNDE DEĞİŞİK YÜKLEMELERİN TOPRAK BASINÇINA ETKİSİ

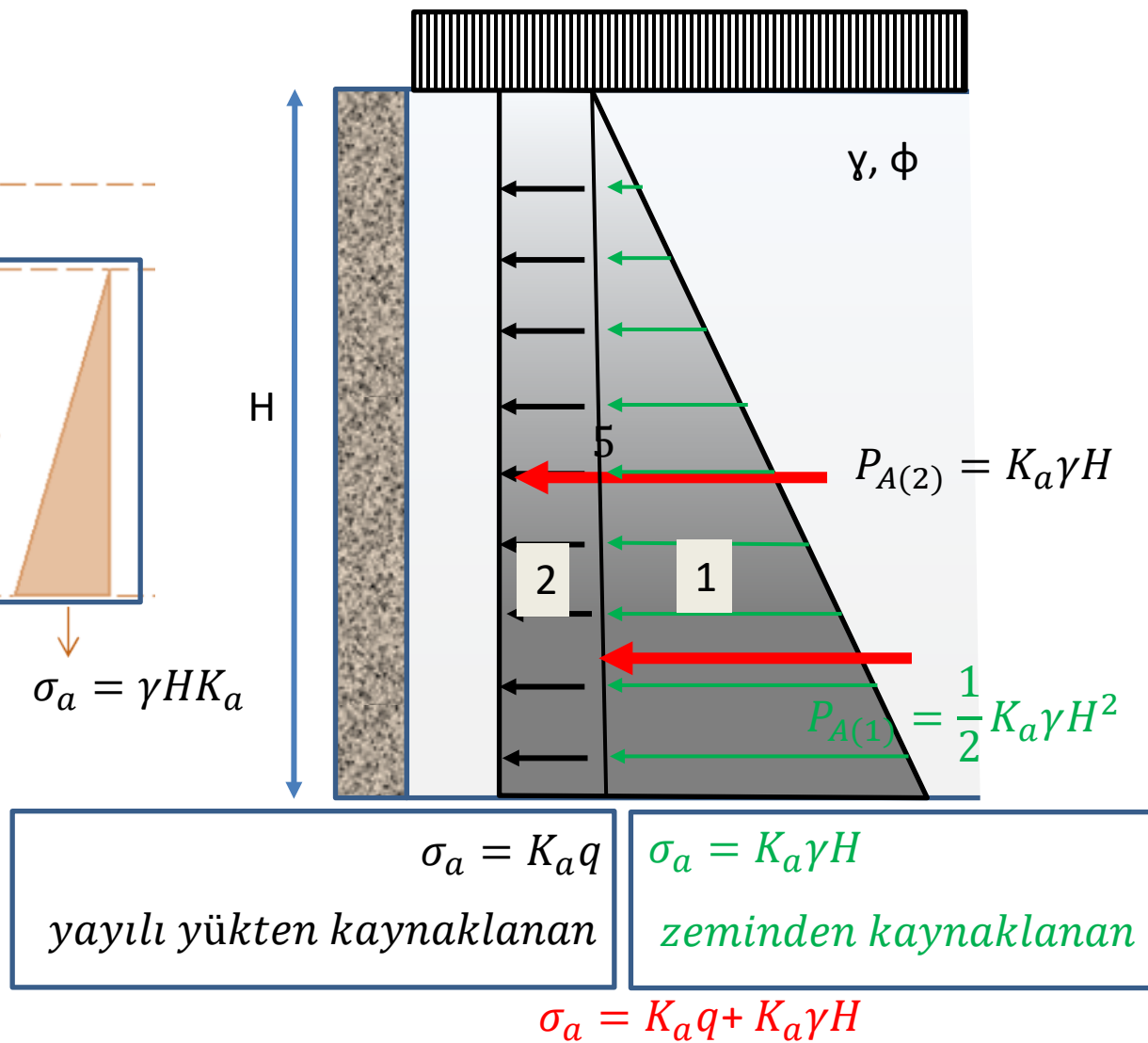
Tek Zemin durumu



ZEMİN YÜZEYİNDE DEĞİŞİK YÜKLEMELERİN TOPRAK BASINÇINA ETKİSİ

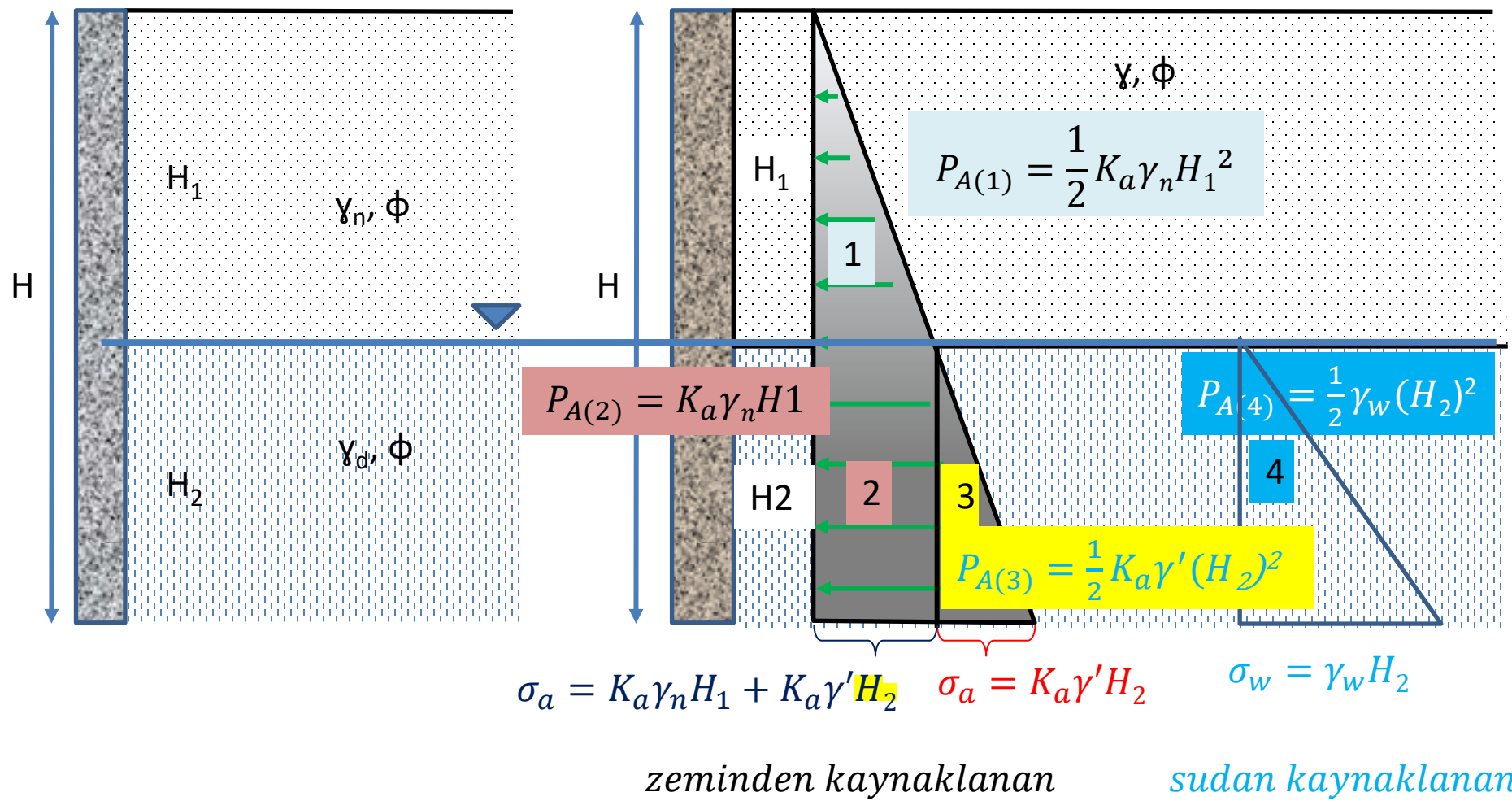


Tek zemin + uniform yayılı yük durumu :



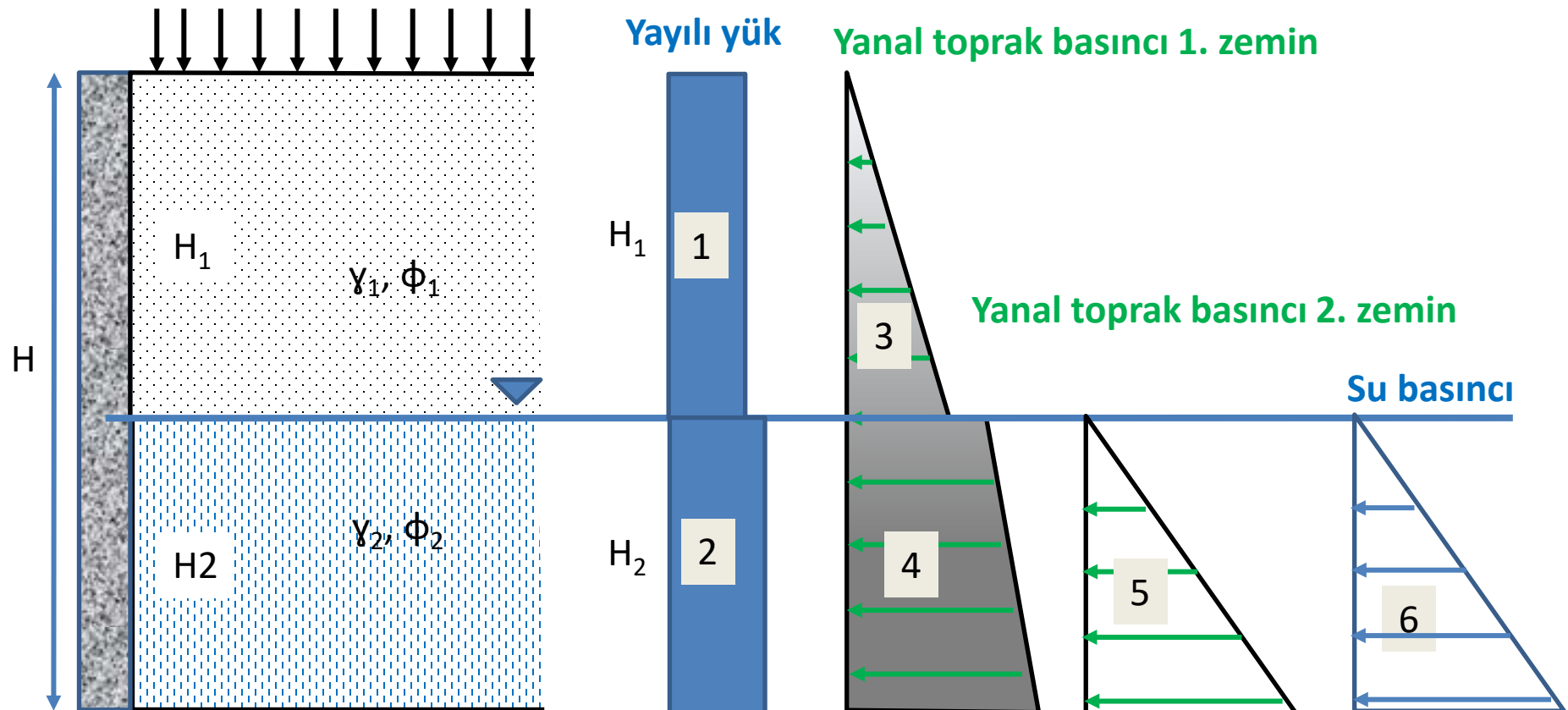
ZEMİN YÜZEYİNDE DEĞİŞİK YÜKLEMELERİN TOPRAK BASINÇINA ETKİSİ

Tabakalı Zemin durumu + Yeraltı suyu durumu



ZEMİN YÜZEYİNDE DEĞİŞİK YÜKLEMELERİN TOPRAK BASINÇINA ETKİSİ

Tabakalı Zemin durumu + Yeraltı suyu durumu + Yayılı yük



$$P_{A(1)} = qK_{a(1)}H_1$$

$$P_{A(2)} = qK_{a(2)}H_2$$

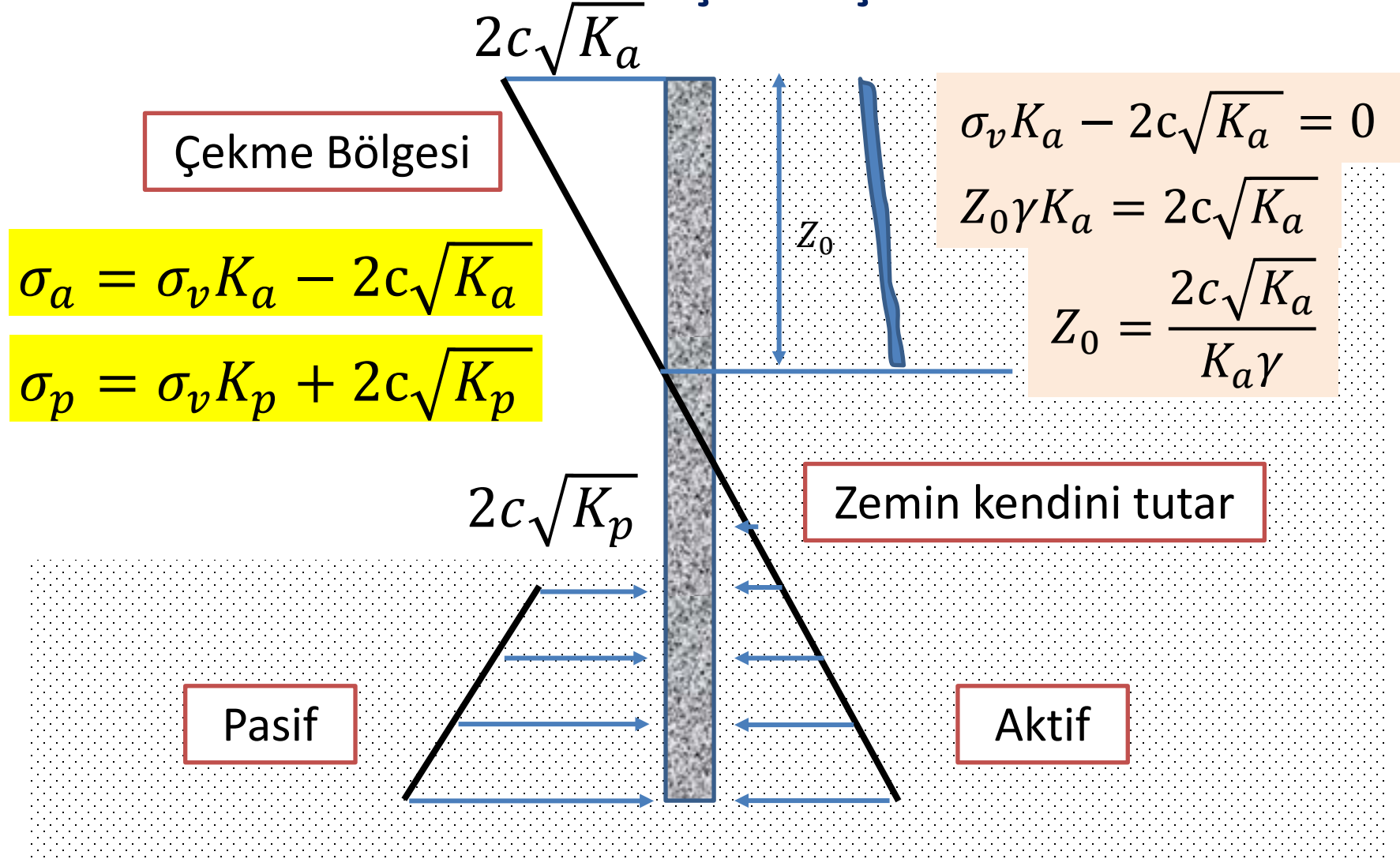
$$P_{A(3)} = \frac{1}{2}K_{a(1)}\gamma_1(H_1)^2$$

$$P_{A(4)} = (K_{a(2)}\gamma_1 H_1) * H_2$$

$$P_{A(5)} = \frac{1}{2}K_{a(2)}\gamma'(H_2)^2$$

$$P_{A(6)} = \frac{1}{2}\gamma_w(H_2)^2$$

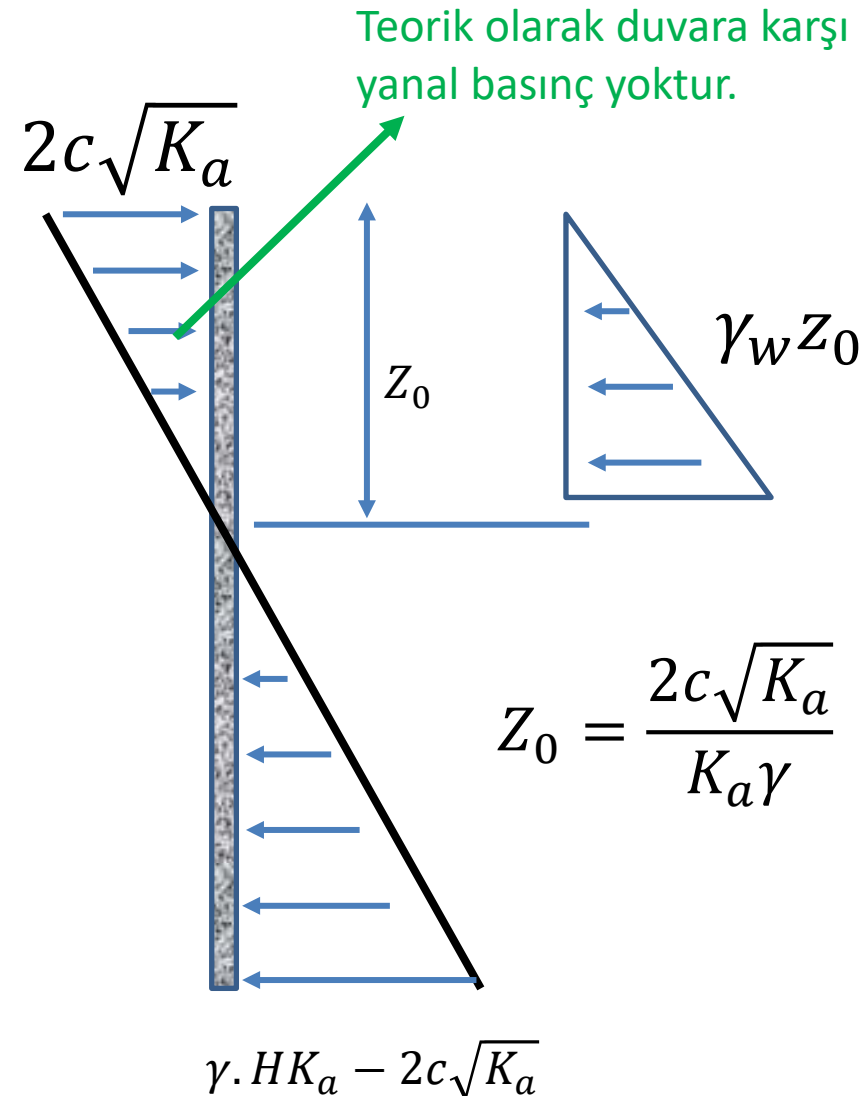
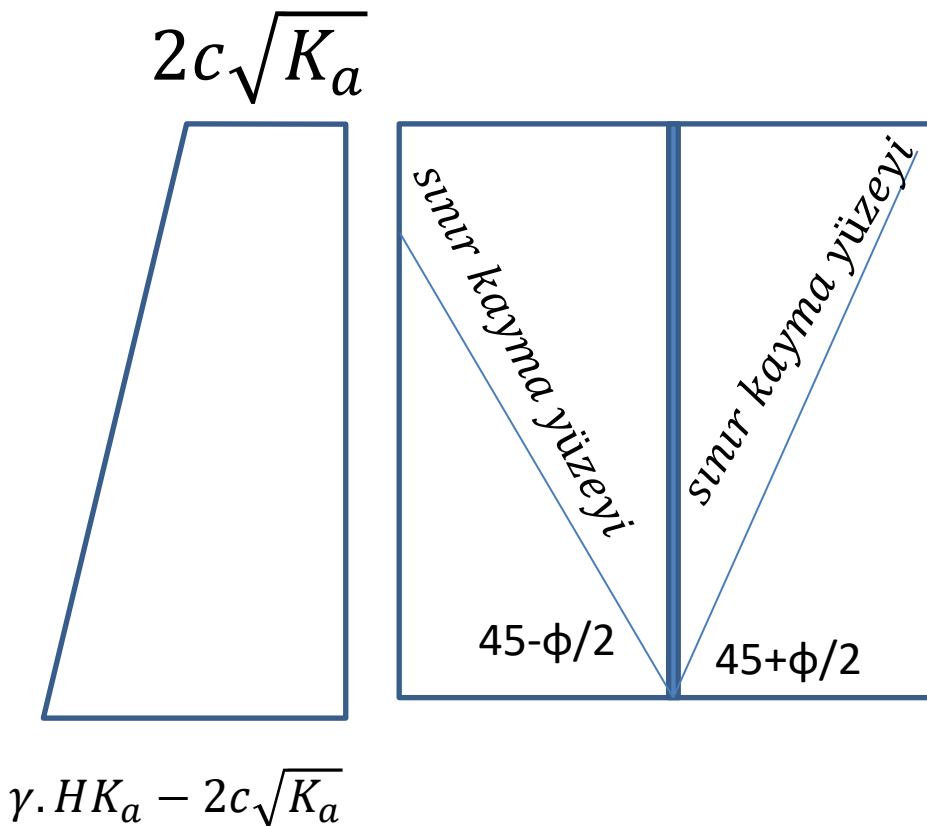
RANKİNE AKTİF TOPRAK BASINCI-ÇEKME ÇATLAKLARI



Zeminde kohezyon varsa bundan dolayı belli bir yere kadar bu zemin kendini desteksiz tutabilir. Kil Z_0 derinliğe kadar çekme gerilmesi alıyor dolayısı ile $2*Z_0$ derinliğe kadar teorik olarak kazılabilir.

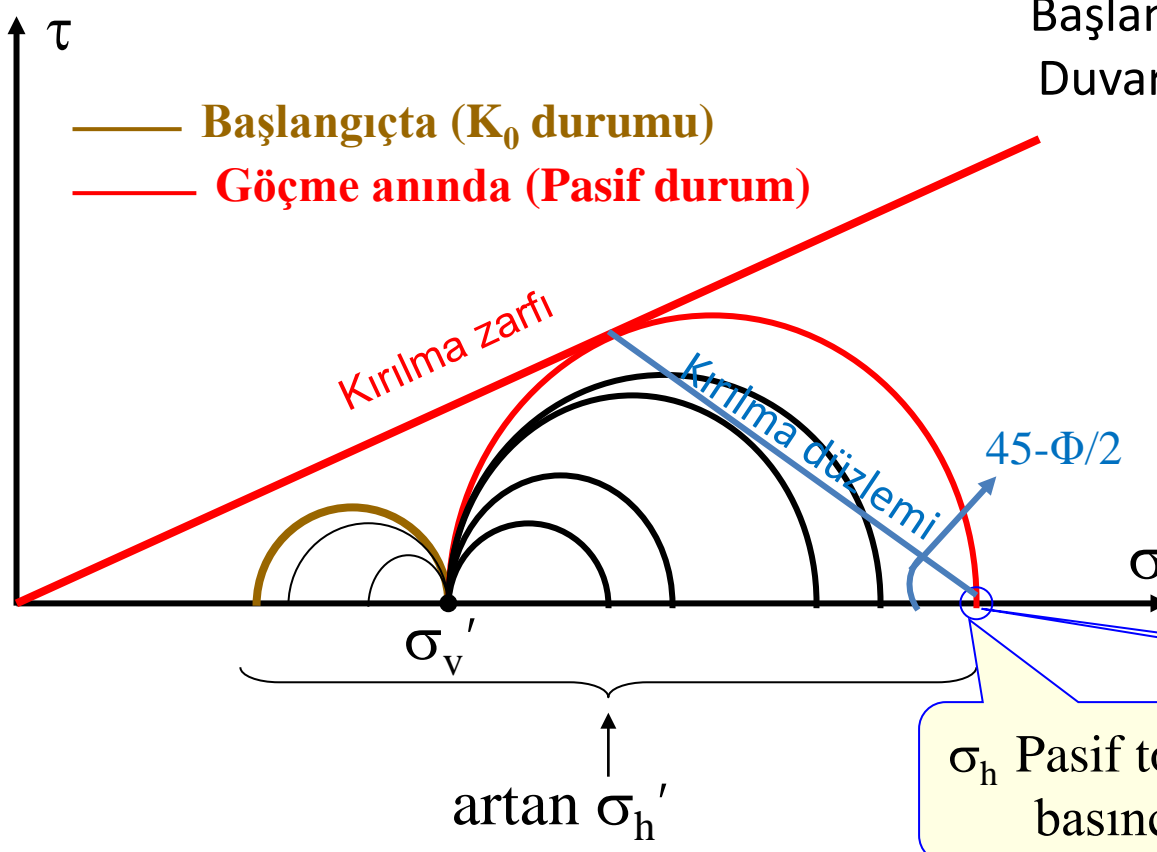
RANKİNE AKTİF TOPRAK BASINCI-ÇEKME ÇATLAKLARI

Çekme çatlağı oluşması durumunda çekme etkisi ihmal edilir ve diyagram z_0 dan başlar. Çekme çatlağına su dolması durumunda hidrostatik basınç oluşur.

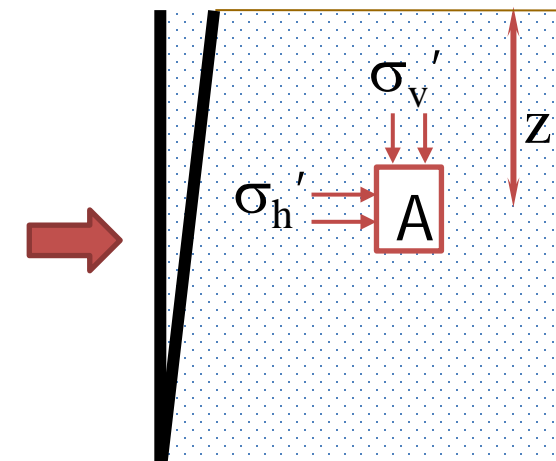


RANKİNE PASİF TOPRAK BASINCI TEORİSİ

- Arkasında zemin tutan yapı (duvar) zemine doğru ötelenir veya alt ucu zemine doğru dönme yaparsa zemindeki düşey gerilmeler **sabit kalırken yatay gerilmeler giderek artar**.
- *Normal koşullarda düşey gerilmelerden az olan yatay gerilme değeri bu artış sonucunda önce düşey gerilme değerine ulaşır ve daha sonraki artan değerlerde belirli bir limit değerde zeminde kırılma meydana gelir.*

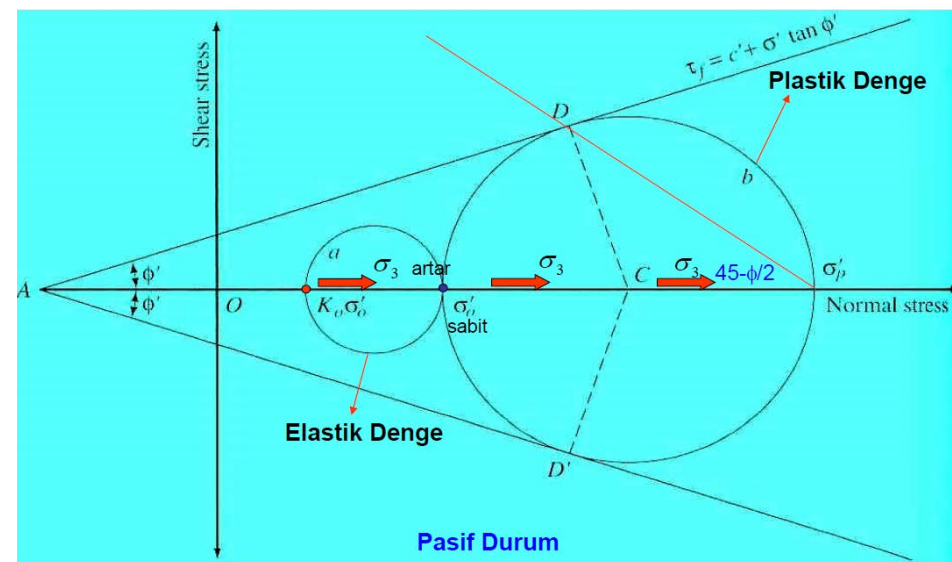


Başlangıçta zemin K_0 durumundadır.
Duvar zemine doğru hareket eder



σ_v' değeri aynı kalacak ve
 σ_h' değeri göçme
meydana gelene kadar
artacaktır.

RANKİNE PASİF TOPRAK BASINCI TEORİSİ

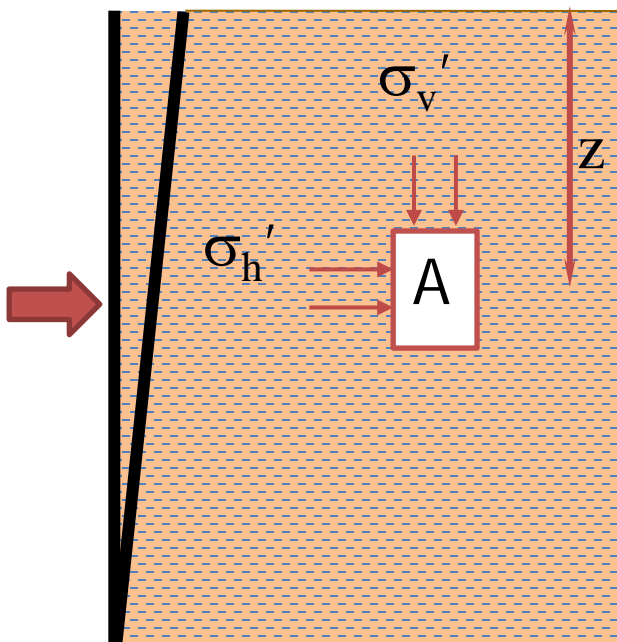


$$\sigma_1 = \sigma_3 N_\phi + 2c\sqrt{N_\phi}$$

σ_p σ_v

$$N_\phi = \tan^2\left(45 + \frac{\phi}{2}\right)$$

$$\sigma_p = \sigma_v \tan^2\left(45 + \frac{\phi}{2}\right) + 2c \tan\left(45 + \frac{\phi}{2}\right)$$



$$N_\phi = \tan^2\left(45 + \frac{\phi}{2}\right) = K_p$$

$$\sigma_p = \sigma_0 K_p + 2c \sqrt{K_p}$$

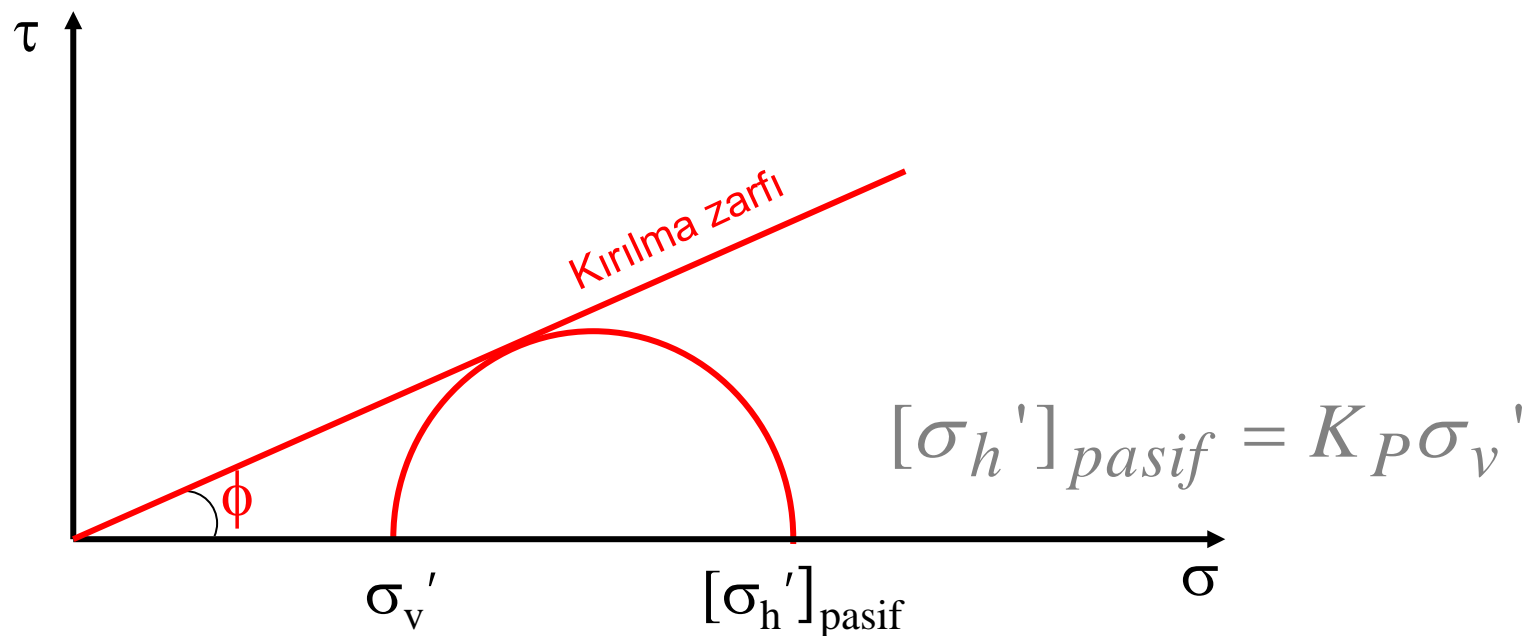
RANKİNE PASİF TOPRAK BASINCI TEORİSİ

$$\sigma_p = \sigma_v K_p \quad \text{Kumlu Zeminler}$$

$$\sigma_p = \sigma_v K_p + 2c\sqrt{K_p} \quad \text{Killi Zeminler}$$

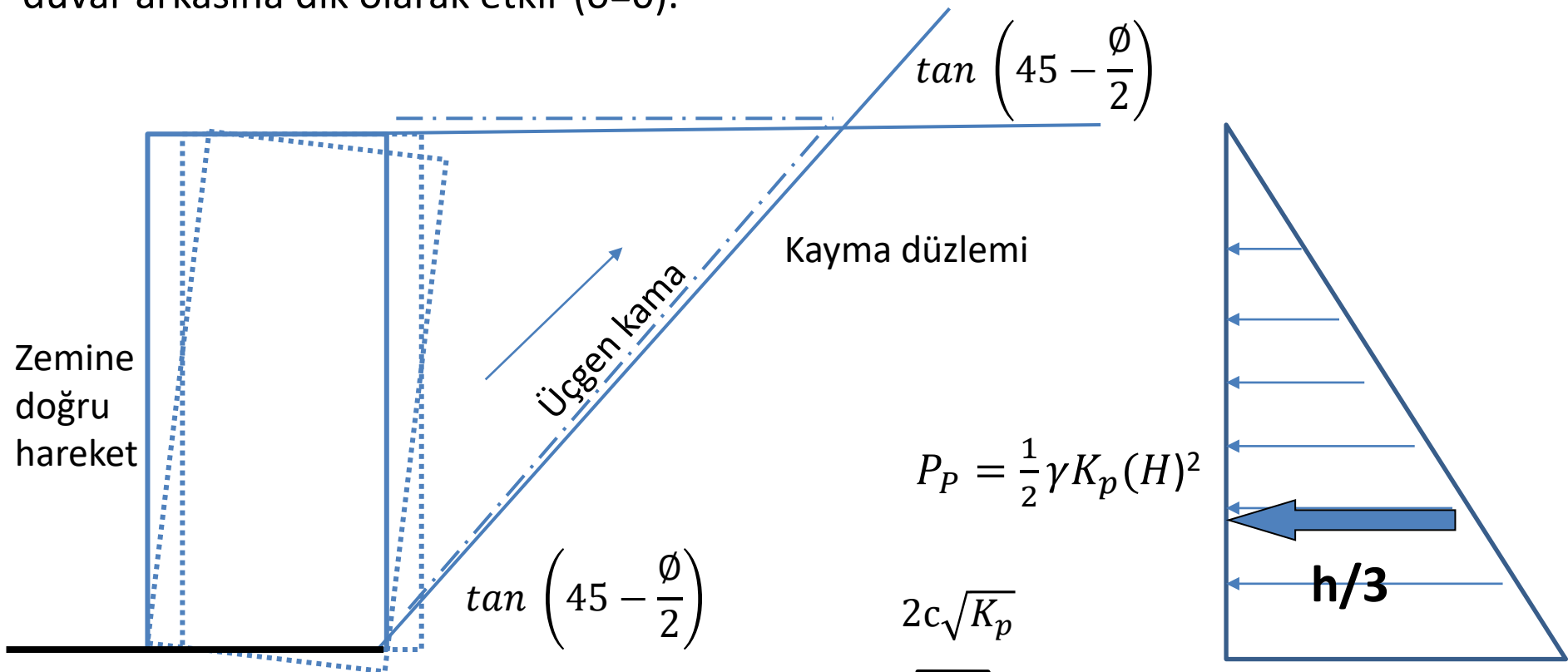
Daha Genel bir ifadeyle;

$$\sigma'_p = \gamma z K_p + 2c' \sqrt{K_p} \quad \sigma_p = \gamma z K_a + 2c \sqrt{K_a}$$
$$K_p = \tan^2 \left(45 + \frac{\phi}{2} \right) = \frac{1 + \sin\phi}{1 - \sin\phi}$$



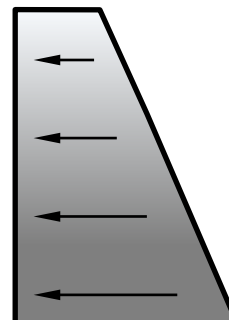
RANKİNE PASİF TOPRAK BASINCI TEORİSİ

Duvar arkası zeminde pasif durum oluşur bu durumda pasif yanal zemin basınçları duvar arkasına dik olarak etkiler ($\delta=0$).



Kohezyonlu zemin için,

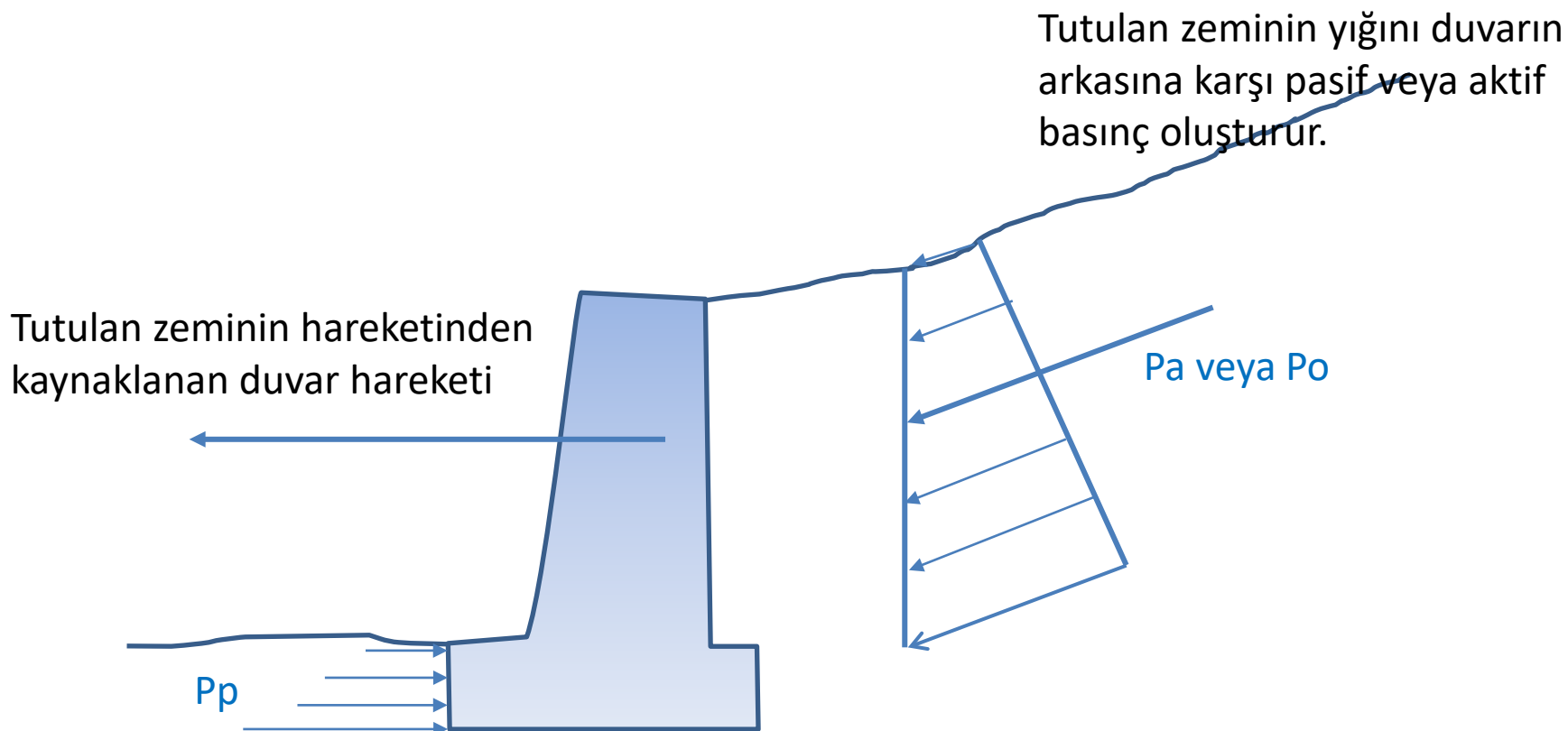
$$P_p = \frac{1}{2} K_p \gamma H^2 + 2c \sqrt{K_p} H$$



$$K_p \gamma + 2c \sqrt{K_p}$$

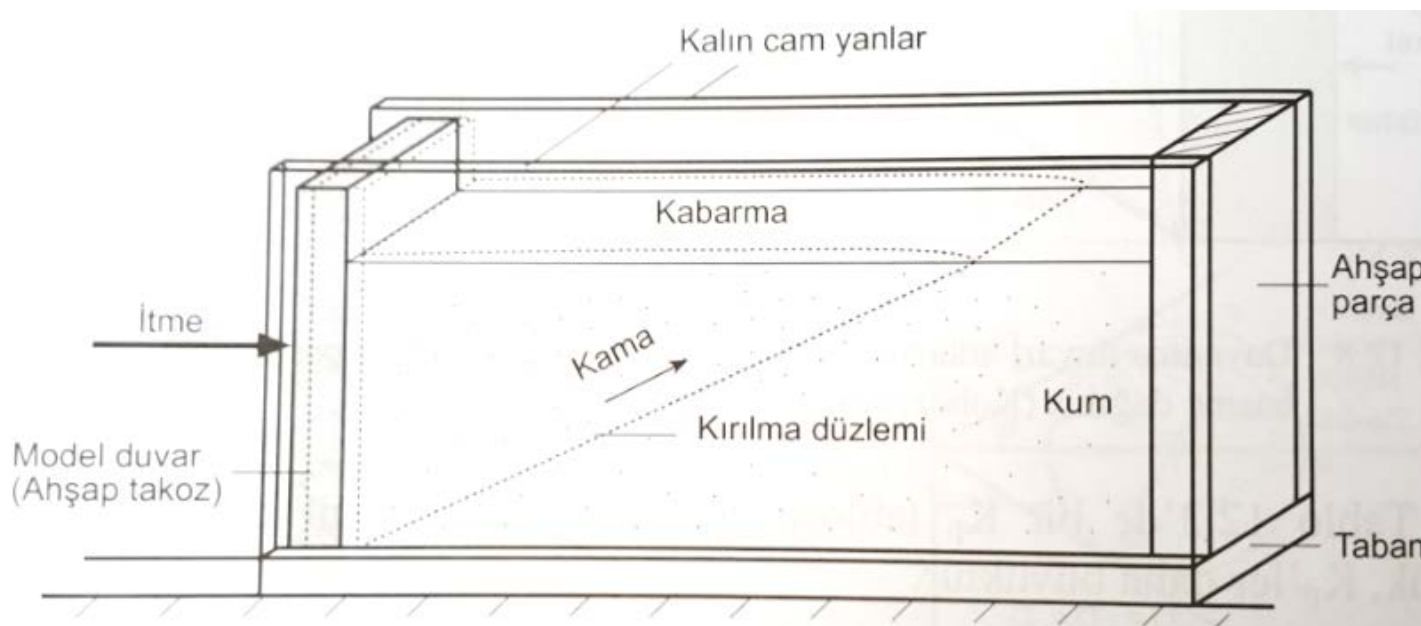
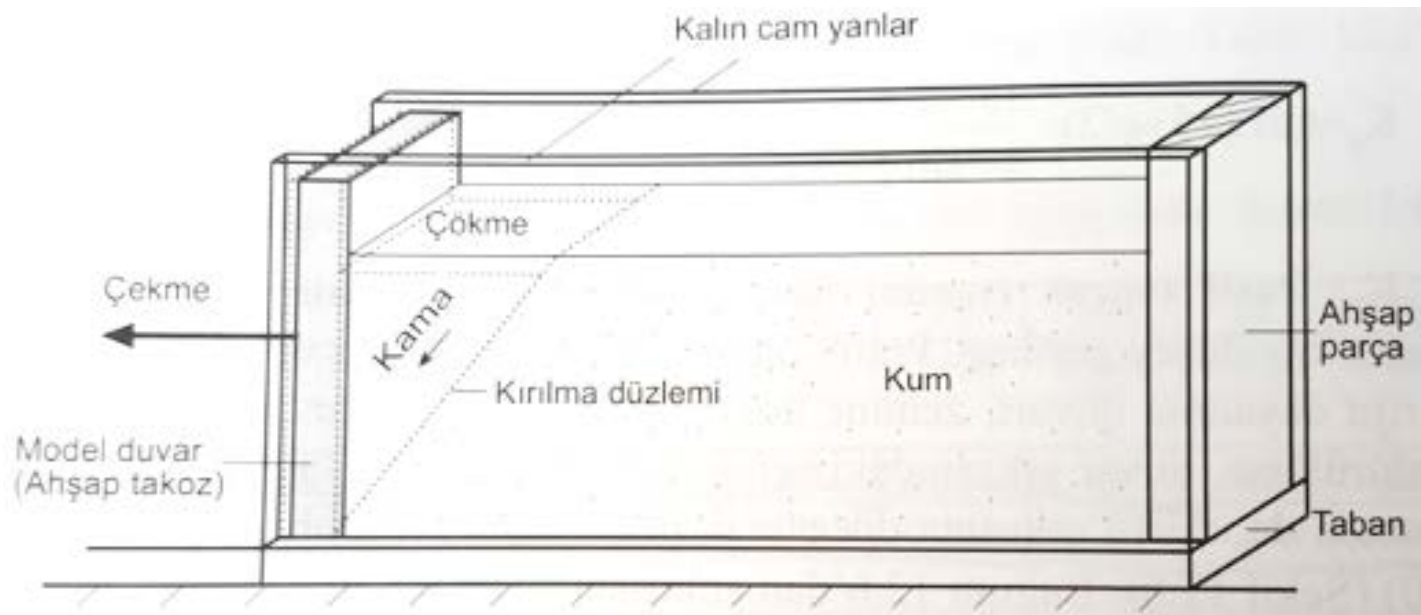
RANKİNE PASİF TOPRAK BASINCI TEORİSİ

İstinat duvarları sükûnet yada aktif yanal basıncına direnecek şekilde tasarılanırlar. Tasarımda pasif toprak basınçları tepkisel yük olarak kabul edilir. Bir istinat duvarı temelinin desteklediği zemin kütlesi duvarın yanal olarak dışarı doğru hareket etmesine neden oluyorsa duvarın önündeki zemin pasif direnç gösterme eğilimindedir.



Eğer duvar yanal olarak hareket ederse,
bu alandaki zemin pasif direnç geliştirir.

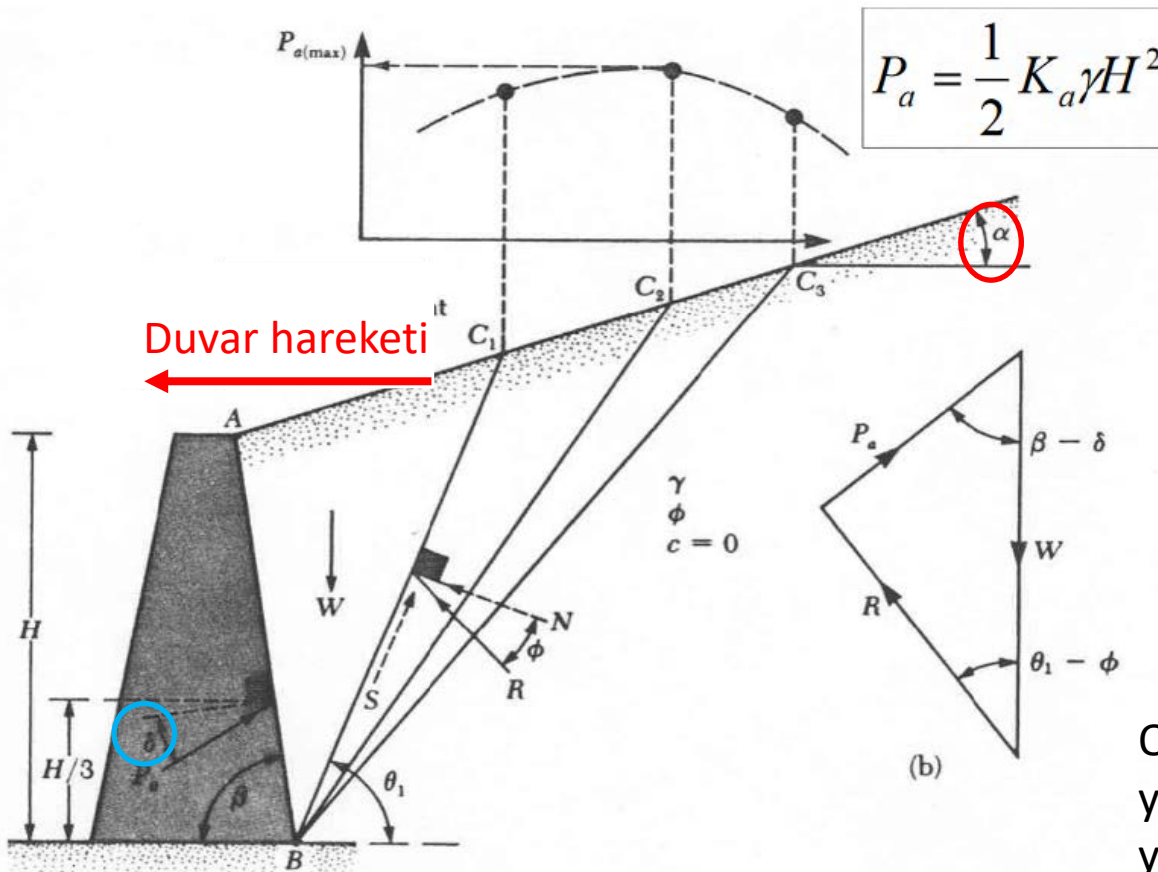
ZEMİNLERDE TOPRAK BASINCI MODEL DENEY



Tan, 1996

COULOMB TOPRAK BASINÇ TEORİSİ

Rankine teorisinde perde yüzeyi sürtünmesiz olduğu kabul edilmişti. Coulomb teorisinde ise; arka dolgu granüler zeminden oluşturduğu kabul edilip, perde üzerine etkiyen yanal toprak basınçları belirlenirken perde ile zemin arasındaki sürtünme dikkate alınmıştır.



Sırtı yatayla β açısı yapan bir dayanma yapısında Coulomb teorisinin uygulanması

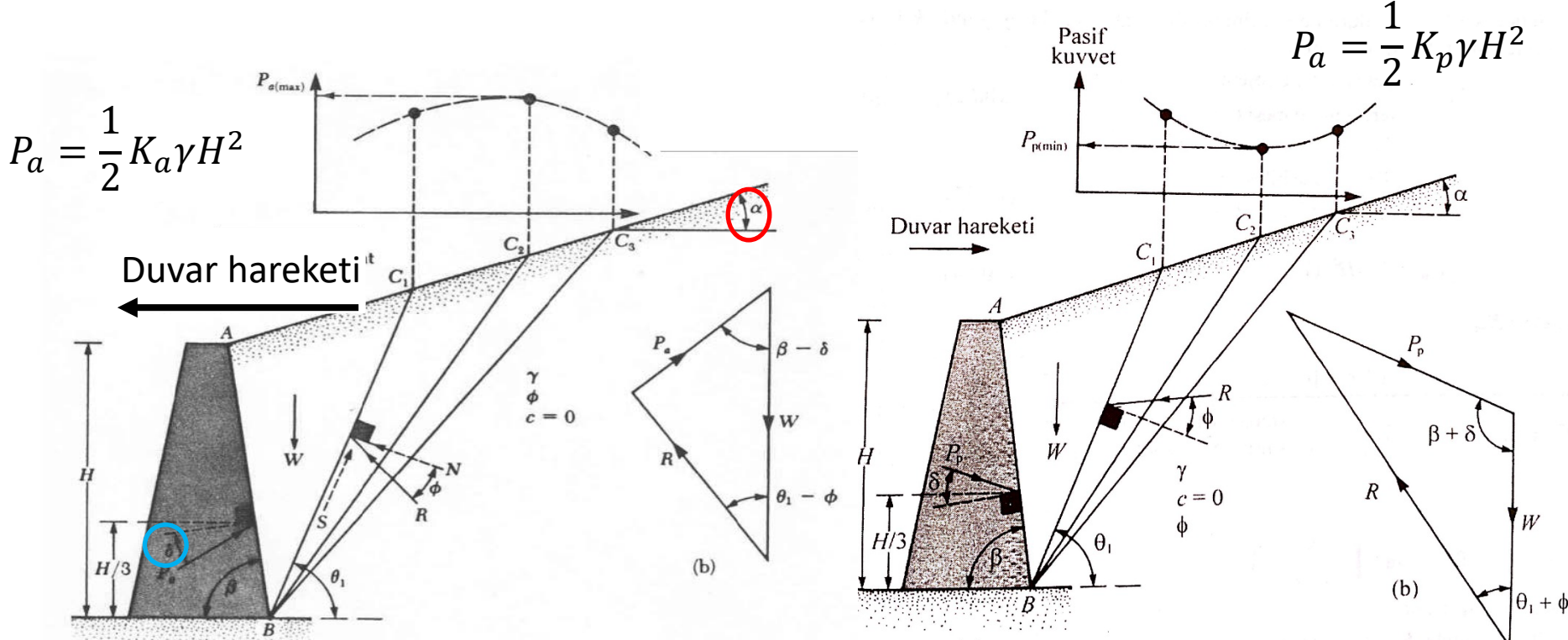


Oluşan kamanın rijit ve homojen bir yapı olduğu, kayma yüzeyi ile yaptığı sürtünme kuvvetinin yüzey boyunca uniform dağılım gösterdiği kabul edilir

COULOMB TOPRAK BASINCI

Kama üzerinde etkiyen kuvvetler

- * Kamanın ağırlığı (W)
- * BC1 düzlemi boyunca normal ve kayma direnci kuvvetlerinin bileşkesi (R)
- * Duvar birim uzunluğundaki aktif itki P_a (duvar sırtına dik düzleme δ açısı yapar)



$$K_{Ac} = \frac{\sin^2(\beta + \phi)}{\sin^2 \beta \sin(\beta - \delta) \left[1 + \sqrt{\frac{\sin(\phi + \delta) \sin(\phi - \alpha)}{\sin(\beta - \delta) \sin(\alpha + \beta)}} \right]^2}$$

$$K_{Pc} = \frac{\sin^2(\beta - \phi)}{\sin^2 \beta \sin(\beta + \delta) \left[1 + \sqrt{\frac{\sin(\phi + \delta) \sin(\phi + \alpha)}{\sin(\beta + \delta) \sin(\alpha + \beta)}} \right]^2}$$

$$P_a = \frac{1}{2} K_p \gamma H^2$$

COULOMB TOPRAK BASINCI

$$K_{Ac} = \frac{\sin^2(\beta + \phi)}{\sin^2 \beta \sin(\beta - \delta) \left[1 + \sqrt{\frac{\sin(\phi + \delta) \sin(\phi - \alpha)}{\sin(\beta - \delta) \sin(\alpha + \beta)}} \right]^2}$$

α (deg)	ϕ' (deg)	β (deg)					
		90	85	80	75	70	65
0	28	0.3264	0.3629	0.4034	0.4490	0.5011	0.5616
	29	0.3137	0.3502	0.3907	0.4363	0.4886	0.5492
	30	0.3014	0.3379	0.3784	0.4241	0.4764	0.5371
	31	0.2896	0.3260	0.3665	0.4121	0.4645	0.5253
	32	0.2782	0.3145	0.3549	0.4005	0.4529	0.5137
	33	0.2671	0.3033	0.3436	0.3892	0.4415	0.5025
	34	0.2564	0.2925	0.3327	0.3782	0.4305	0.4915
	35	0.2461	0.2820	0.3221	0.3675	0.4197	0.4807

Coulomb için Ka değerleri $\delta = 1/2\phi$

COULOMB TOPRAK BASINCI

$$K_{Ac} = \frac{\sin^2(\beta + \phi)}{\sin^2 \beta \sin(\beta - \delta) \left[1 + \sqrt{\frac{\sin(\phi + \delta) \sin(\phi - \alpha)}{\sin(\beta - \delta) \sin(\alpha + \beta)}} \right]^2}$$

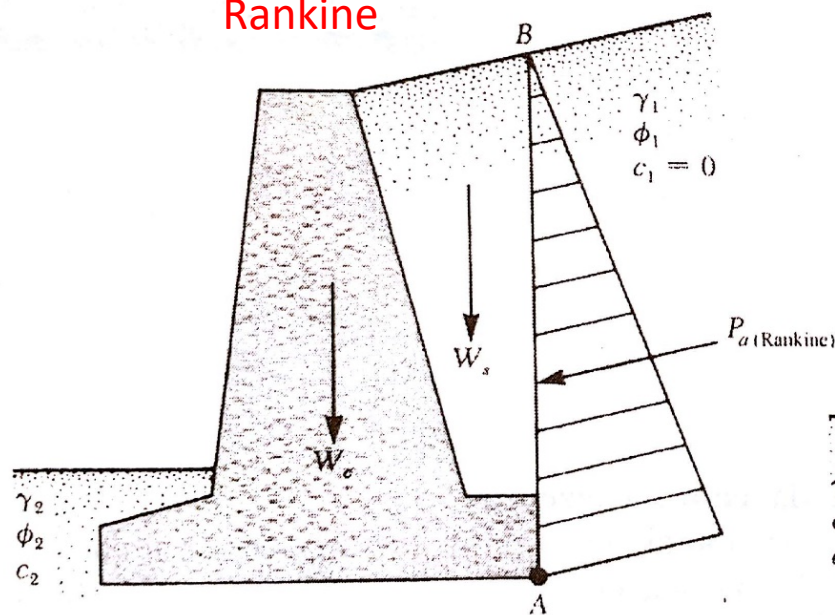
α (deg)	ϕ' (deg)	β (deg)					
		90	85	80	75	70	65
0	28	0.3213	0.3588	0.4007	0.4481	0.5026	0.5662
	29	0.3091	0.3467	0.3886	0.4362	0.4908	0.5547
	30	0.2973	0.3349	0.3769	0.4245	0.4794	0.5435
	31	0.2860	0.3235	0.3655	0.4133	0.4682	0.5326
	32	0.2750	0.3125	0.3545	0.4023	0.4574	0.5220
	33	0.2645	0.3019	0.3439	0.3917	0.4469	0.5117
	34	0.2543	0.2916	0.3335	0.3813	0.4367	0.5017
	35	0.2444	0.2816	0.3235	0.3713	0.4267	0.4919
	36	0.2349	0.2719	0.3137	0.3615	0.4170	0.4824
	37	0.2257	0.2626	0.3042	0.3520	0.4075	0.4732
	38	0.2168	0.2535	0.2950	0.3427	0.3983	0.4641
	39	0.2082	0.2447	0.2861	0.3337	0.3894	0.4553
	40	0.1998	0.2361	0.2774	0.3249	0.3806	0.4468
	41	0.1918	0.2278	0.2689	0.3164	0.3721	0.4384
	42	0.1840	0.2197	0.2606	0.3080	0.3637	0.4302
5	28	0.3431	0.3845	0.4311	0.4843	0.5461	0.6190
	29	0.3295	0.3709	0.4175	0.4707	0.5325	0.6056
	30	0.3165	0.3578	0.4043	0.4575	0.5194	0.5926
	31	0.3039	0.3451	0.3916	0.4447	0.5067	0.5800
	32	0.2919	0.3329	0.3792	0.4324	0.4943	0.5677
	33	0.2803	0.3211	0.3673	0.4204	0.4823	0.5558

Coulomb için K_a değerleri $\delta = 2/3\phi$

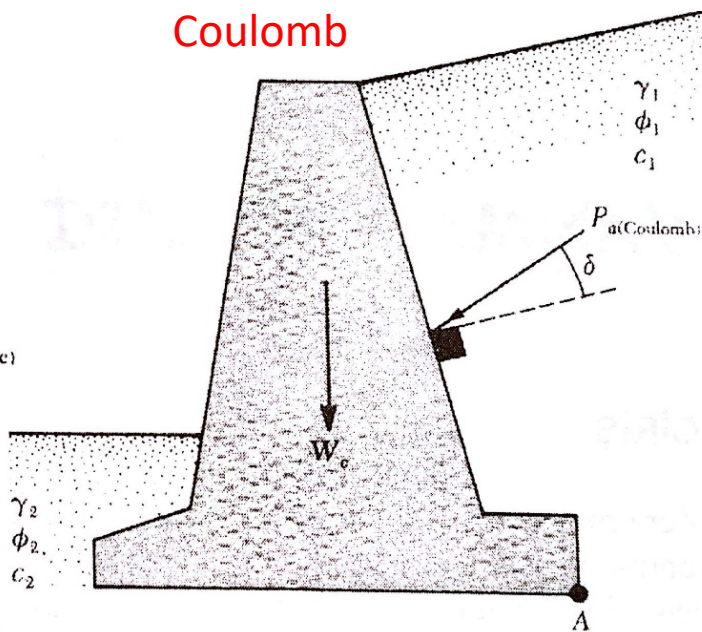
COULOMB AKTİF TOPRAK BASINCI

Ağırlık dayanma yapısında yanal toprak basıncı için kabuller

Rankine



Coulomb



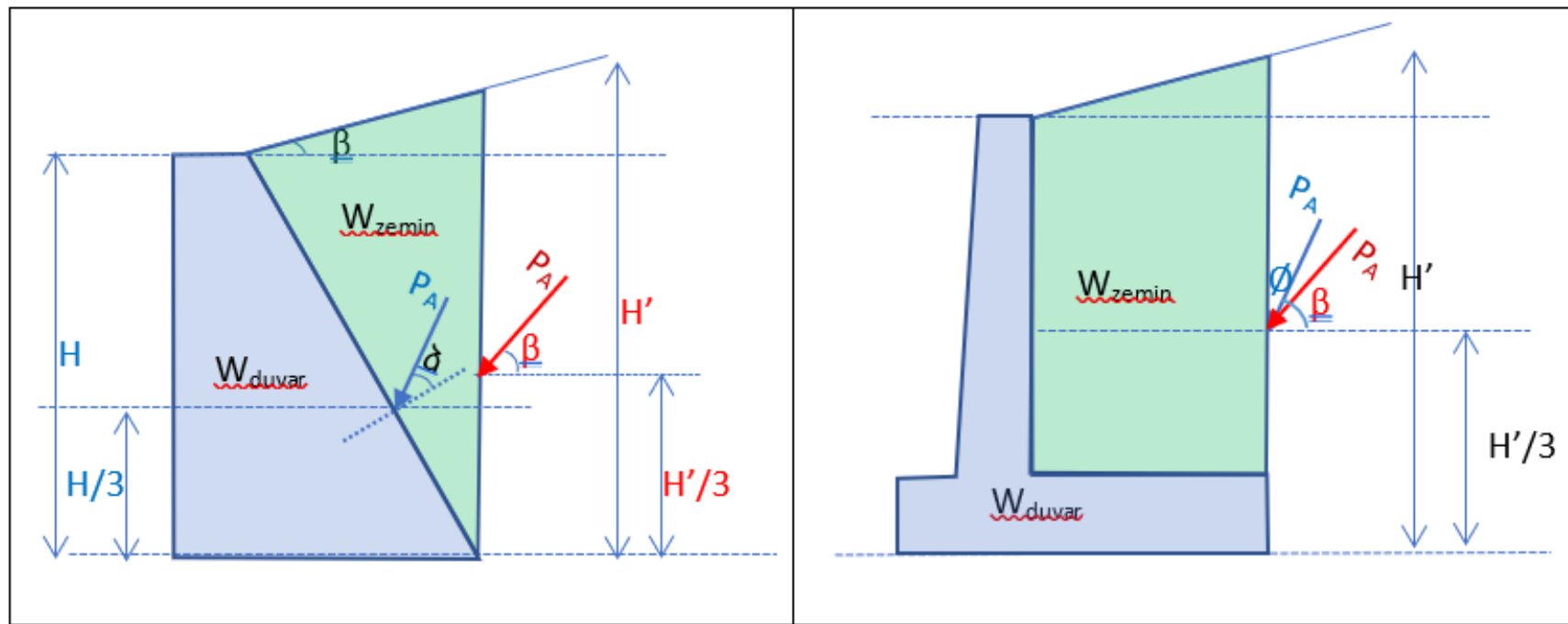
Tipik duvar ile dolgu arasında δ sürtünme değerleri

Arayüzey Malzemeleri	Arayüzey Sürtünme Açısı δ
Masif beton ile :	
temiz, sağlam kaya	25
temiz çakıl; çakıl-kum karışımı; iri kum	29-31
temiz, ince-orta kum; siltli orta-iri kum;	24-29
siltli veya killi çakıl	
temiz, ince kum; siltli veya killi ince-orta kum	19-24
ince kumlu silt; plastik olmayan silt	17-19
orta sert ve sert kil; siltli kil	17-19
temiz çakıl; çakıl-kum karışımı; iyi derecelenmiş kaya dolgu	22-26
temiz kum; siltli kum-çakıl karışımı; tek boyuttan oluşan sert kaya dolgu	17-22
Çakıl	
siltli kum; çakıl; silt veya kil ile karışık kum	17
ince kumlu silt; plastik olmayan silt	14
temiz çakıl; çakıl-kum karışımı; iyi derecelenmiş kaya dolgu	22
temiz kum; siltli kum çakıl karışımı; tek boyuttan oluşan sert kaya dolgu	17
siltli kum; çakıl; silt veya kil ile karışık kum	14
ince kumlu silt; plastik olmayan silt	11

NAVFAC (1982)'den.

Zemin türü	duvar - dolgu sürtünme açısı (δ) sınır değerleri
Çakıl	27-30
İri kum	20-28
İnce kum	15-25
Katı-sert kil	15-20
Siltli kil	12-16

COULOMB AKTİF TOPRAK BASINÇI



Coulomb; Duvar ile zemin arasında sürtünmeyi dikkate alır. Duvara yüzeyin normali ile β açısı yaparak etkitir.

Rankine; Duvarın üzerinde kalan kısmı duvara dahil eder ve yatayla β ile etkitir.

$$W = W_{duvar} + W_{duvar} +$$

Coulomb; Duvar yüzeyi zemindir. Duvara yüzeyin normali ile zemin-zemin sürtünme açısı ile etkitir.

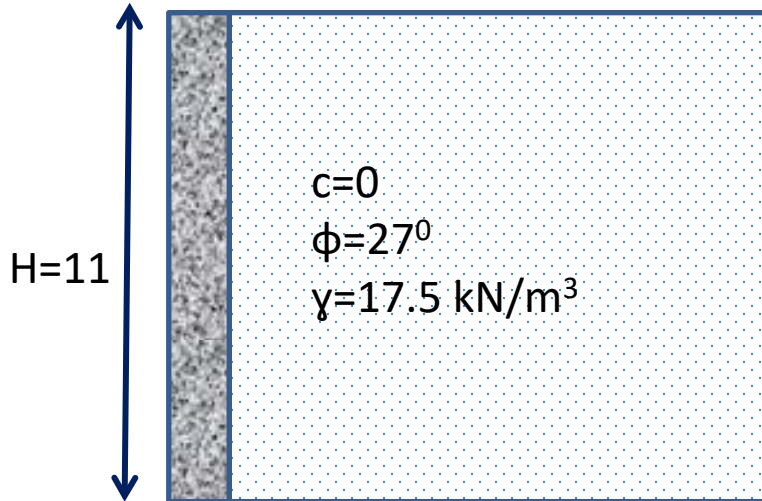
Rankine; Duvarın üzerinde kalan kısmı duvara dahil eder ve yatayla β ile etkitir.

$$W = W_{duvar} + W_{duvar} +$$

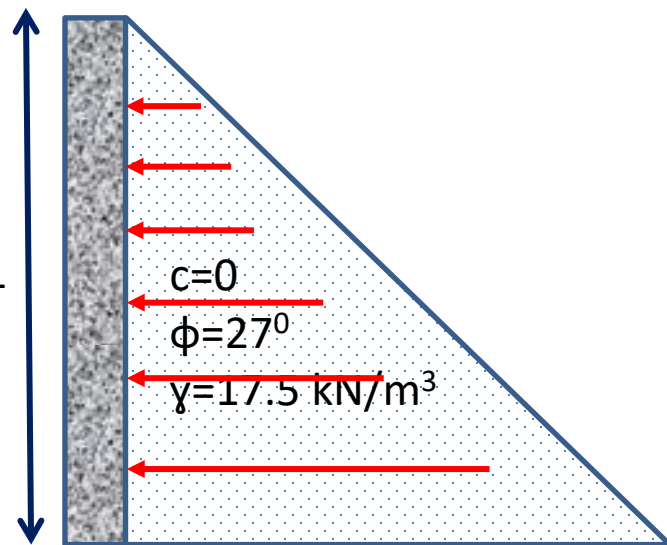
UYGULAMALAR

SORU-1

Şekildeki özelliklere sahip bir ortam için Yanal toprak itkisini ve etkime yerini hesaplayınız.



CEVAP-1



$$\phi = 27^0 \text{ için};$$

$$K_a = \tan^2 \left(45 - \frac{\phi}{2} \right) = 0.375$$

$$\sigma_a = K_a \gamma H = 0.375 * 17.5 * 11 = 72.19 \text{ kN/m}^2$$

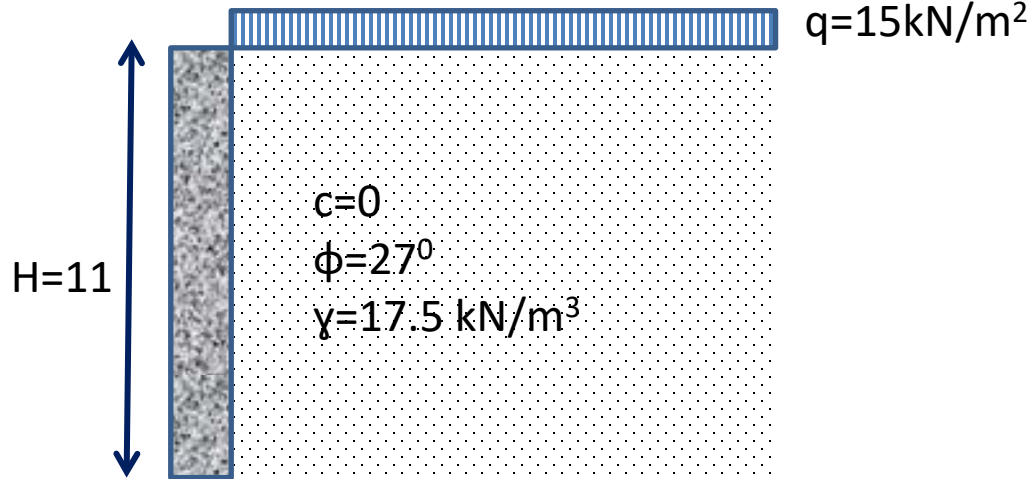
$$P_a = \frac{1}{2} K_a \gamma H^2 = \frac{1}{2} * 0.375 * 17.5 * 11^2 = 397.031 \frac{\text{kN}}{\text{m}}$$

$$z = \frac{H}{3} = \frac{11}{3} = 3.66 \text{ m (tabandan)}$$

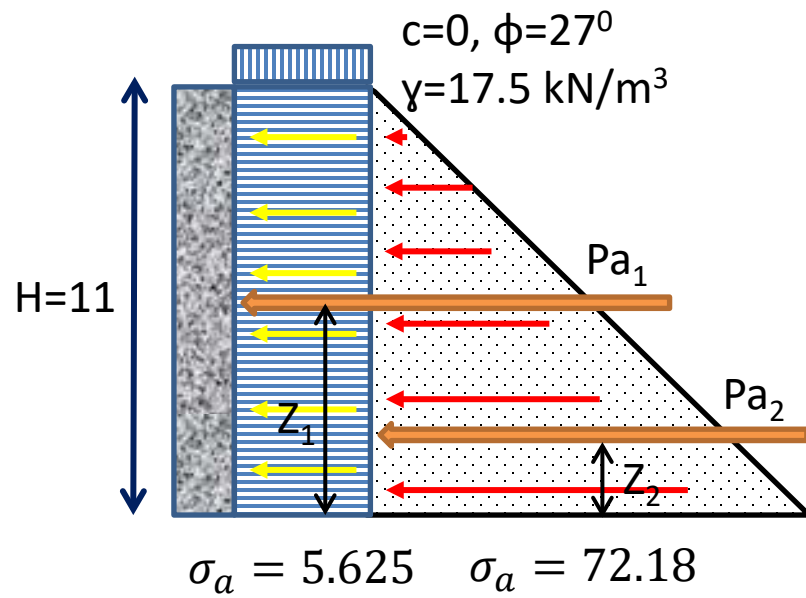
UYGULAMALAR

SORU-2

Şekildeki özelliklere sahip bir ortam için yanal toprak itkisini ve etkime yerini hesaplayınız.



CEVAP-2



yayılı yükten kaynaklanan

$$\sigma_a = K_a * q = 0.375 * 15 = 5.625 \text{ kN/m}^2$$

$$P_{a_1} = K_a q * H = 5.625 * 11 = 61.875 \text{ kN/m}$$

$$z_1 = 5.5 \text{ m}$$

zeminden kaynaklanan

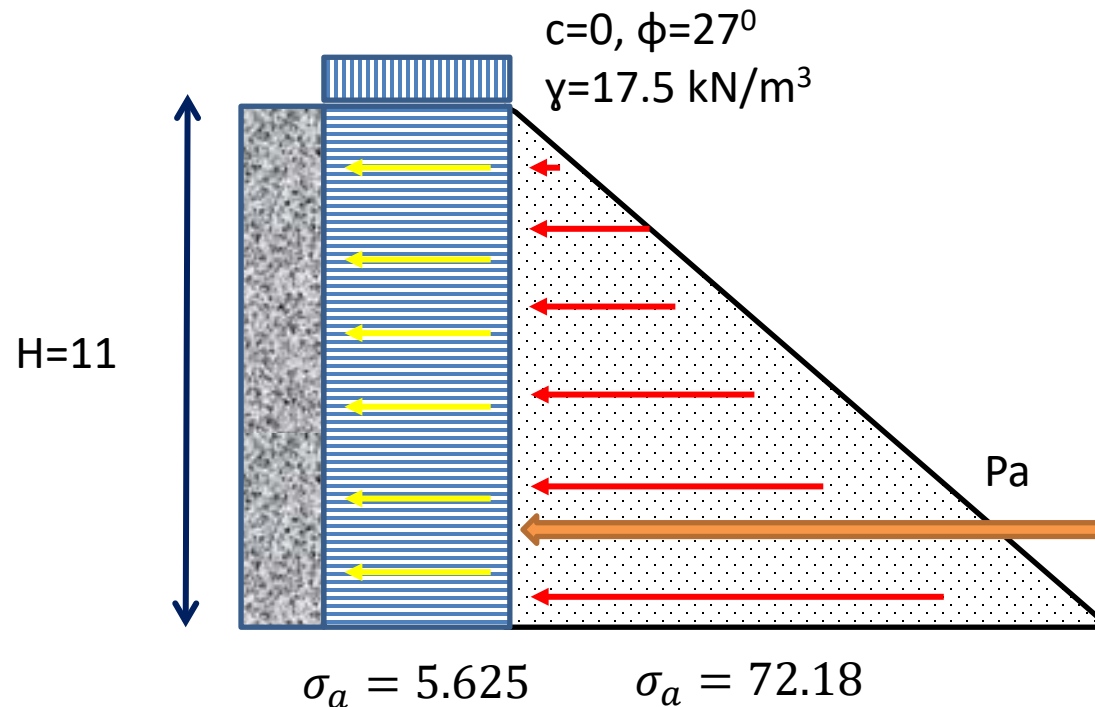
$$\sigma_a = K_a * \gamma * H = 0.375 * 17.5 * 11 = 72.18 \text{ kN/m}^2$$

$$P_{a_2} = \frac{1}{2} K_a * \gamma * H^2 = \frac{397 \text{ kN}}{\text{m}}$$

$$z_1 = 3.6 \text{ m}$$

UYGULAMALAR

CEVAP-2



Yüklerin ToplAMI: yük+zemin

$$Pa = Pa_1 + Pa_2 q = 61.875 + 397 = 458.875 \text{ kN/m}$$

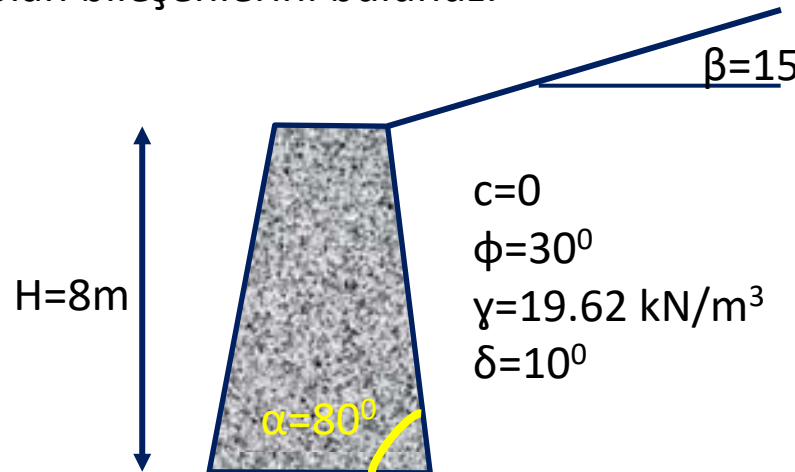
zeminden kaynaklanan

$$z = \frac{Pa_1 * z_1 + Pa_2 * z_2}{Pa} = \frac{61.875 * 5.5 + 397 * 3.66}{458.875} = 4.59 \text{ m}$$

UYGULAMALAR

SORU-3

a. Duvara etkiyen aktif toprak basıncı kuvvetini hesaplayınız. b. Bu kuvvetin duvarı devirici ve devirmeye karşı önleyici olan bileşenlerini bulunuz.



CEVAP-3A

A diagram showing a trapezoidal soil mass against a vertical wall. The height of the soil mass is labeled $H=8m$. The angle of the backfill surface relative to the horizontal is $\alpha=80^0$. The angle of the wall relative to the horizontal is $\beta=15$. The angle of internal friction is $\phi=30^0$, the angle of wall friction is $\delta=10^0$, and the angle between the wall and the resultant active earth pressure is $\beta=15$. An orange arrow points to the formula for the coefficient of active earth pressure, K_a .

$$K_a = \frac{\sin^2(\alpha + \phi)}{\sin^2 \alpha \cdot \sin(\alpha - \delta) \left[1 + \sqrt{\frac{\sin(\phi + \delta) \cdot \sin(\phi - \beta)}{\sin(\alpha - \delta) \cdot \sin(\alpha + \beta)}} \right]^2}$$

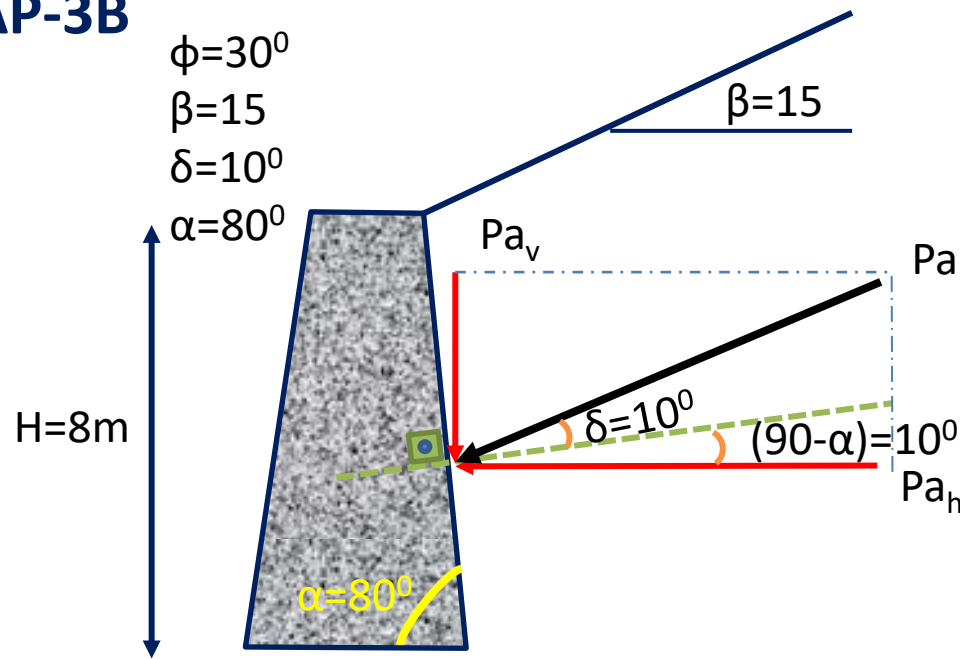
$K_a = 0.479$

$$P_a = \frac{1}{2} \cdot K_a \cdot \gamma \cdot H^2$$

$P_a = 300.74 \text{ kN/m}$

UYGULAMALAR

CEVAP-3B



Devirici kuvvet; P_{ah}

$$P_{ah} = P_a * \cos(\delta + (90 - \alpha))$$

$$P_{ah} = 300 * \cos(10^\circ + (90 - 80))$$

$$P_{ah} = 300 * \cos(20) = 282.60 \text{ kN/m}$$

Önleyici kuvvet; P_{av}

$$P_{av} = P_a * \sin(\delta + (90 - \alpha))$$

$$P_{av} = 300 * \sin(10^\circ + (90 - 80))$$

$$P_{av} = 300 * \sin(20) = 102.86 \text{ kN/m}$$

UYGULAMALAR

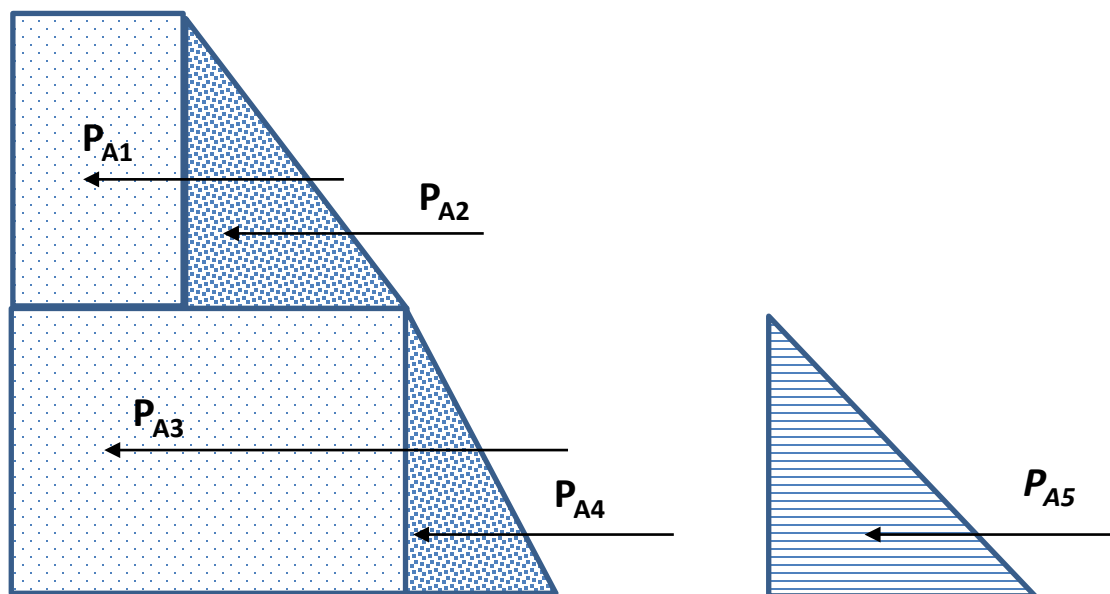
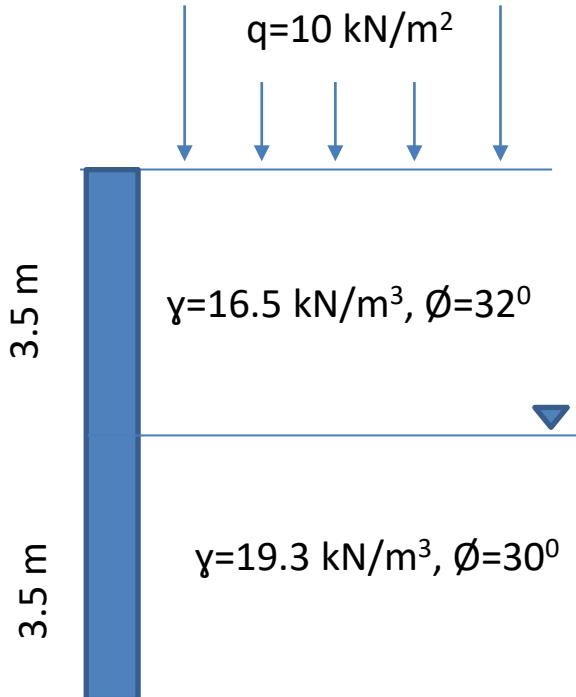
SORU-4

Şekilde görülen istinat duvarına gelen toplam aktif basınçların bileşkesini ve etkime yerini bulunuz.

Not: duvar ile zemin arasında sürtünme olmadığını varsayıınız.

ÇÖZÜM-4

Öncelikle itkilerin nasıl olacağını araştıralım.



UYGULAMALAR

ÇÖZÜM-4

Şimdi aktif toprak katsayılarını hesaplayalım.

$$K_A = \tan^2\left(45 - \frac{\phi}{2}\right) ==> K_{A1} = 0.307, K_{A2} = 0.333 \text{ olarak hesaplanır.}$$

Artık aktif toprak basınçlarını hesaplayabiliriz (itkilerin hesabında kullanılır)

$$\sigma_{0m} = q * K_{A1} = 0.307 * 10 \text{ } kN/m^2 = 3.07 \text{ } kN/m^2 \text{ olarak hesaplanır.}$$

$$\sigma_{3.5m} = q * K_{A1} + (\gamma_1 * H * K_{A1}) = 3.07 \text{ } kN/m^2 + (16.5 * 0.307 * 3.5)$$

$$\sigma_{3.5m} = 20.8 \text{ } kN/m^2 \text{ olarak hesaplanır.}$$

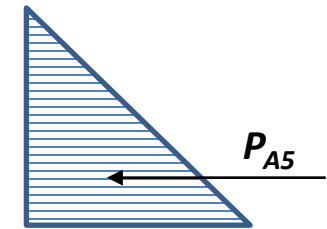
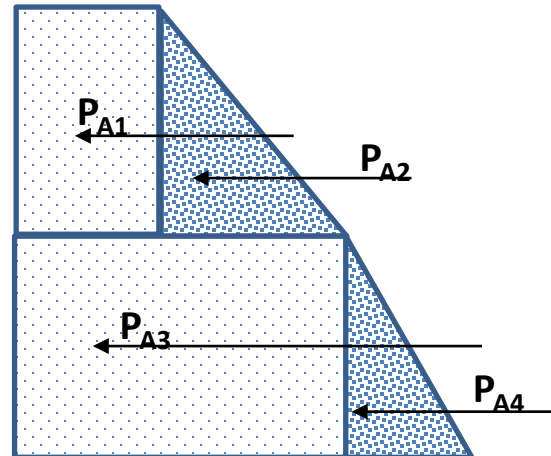
$$\begin{aligned}\sigma_{7m} &= [(q + (\gamma_1 * H)) * K_{A2})] + (\gamma'_2 * H_2 * K_{A2}) + (\gamma_w * H_2) \\ &= [(10 + (16.5 * 3.5) * 0.333)] + ((19.3 - 9.81) * 3.5 * 0.333) + (9.81 * 3.5) \\ &= 22.6 \text{ } kN/m^2 + 11.06 \text{ } kN/m^2 + 34.3 \text{ } kN/m^2 \text{ olarak hesaplanır.}\end{aligned}$$

UYGULAMALAR

ÇÖZÜM-4

Aktif toprak itkilerini hesaplayalım.

$$P_T = P_{A1} + P_{A2} + P_{A3} + P_{A4} + P_{A5}$$



$$P_{A1} = q * K_{A1} * H_1 = 0.307 * 10 * 3.5 = 10.745 \text{ kN/m}$$

$$P_{A2} = \frac{1}{2} * K_{A1} * \gamma_1 * H^2 = 31.03 \text{ kN/m}$$

$$P_{A3} = K_{A2} * (q + \gamma_1 * H_1) * H_2 = 78.96 \text{ kN/m}$$

$$P_{A4} = \frac{1}{2} * K_{A2} * \gamma'_2 * H_2^2 = 19.35 \text{ kN/m}$$

$$P_{A5} = \frac{1}{2} * \gamma_w * H_2^2 = 60.86 \text{ kN/m}$$

Artık P_T hesaplayabiliriz; $P_T = P_{A1} + P_{A2} + P_{A3} + P_{A4} + P_{A5} = 200.171 \text{ kN/m}$

Bileşke kuvvetin etkime yeri = $\sum P_i Y_i = \frac{\sum_{i=1}^5 P_i Y_i}{R}$

UYGULAMALAR

ÇÖZÜM-4

NOT

$$h_1 = 3.5 + \frac{3.5}{2} = 5.25$$
$$h_2 = 3.5 + \frac{3.5}{3} = 4.67$$
$$h_3 = \frac{3.5}{2} = 1.75$$
$$h_4 = \frac{3.5}{3} = 1.166$$
$$h_5 = \frac{3.5}{3} = 1.166$$

Bileşke kuvvetin etkime yeri

$$= \frac{10.745 * \left(3.5 + \frac{3.5}{2}\right) + \left(31.03 * \left(3.5 + \frac{3.5}{3}\right)\right) + \left(78.96 * \frac{3.5}{2}\right) + 19.35 * \left(\frac{3.5}{3}\right) * \left(60.086 * \frac{3.5}{3}\right)}{200.171}$$

Bileşke kuvvetin etkime yeri

$$= \frac{56.41 + 144.91 + 138.18 + 22.575 + 70.100}{200.171} = \frac{432.175}{200.171} = 2.159m$$

UYGULAMALAR

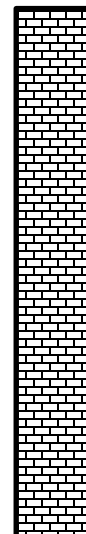
SORU-5

Düsey bir istinat duvarı 9 m yüksekliğinde olup kohezyonlu bir zemini tutmaktadır. Zeminin birim hacim ağırlığı 18.62 kN/m^3 kohezyonu 20 kN/m^2 ve içsel sürtünme açısı ise 10^0 dir.

Buna göre;

- Duvar arkasında sürtünme olmadığını ve drenaj yapıldığını düşünerek duvara gelen aktif itkiyi bulunuz.
- Y.A.S.S zemin yüzeyinde olursa drenajsız durumda duvara gelen aktif itkiyi bulunuz.

Not: Zeminin doygun birim hacim ağırlığı 20 kN/m^3 'dür.

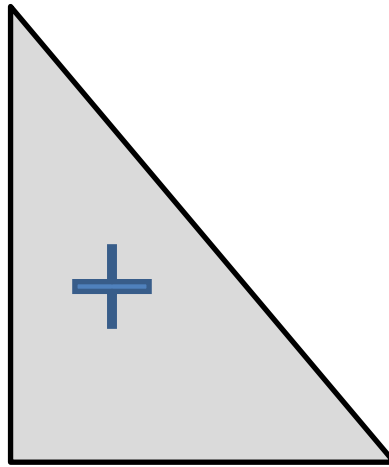


$$\gamma = 18.62 \text{ kN/m}^3, c = 20 \text{ kN/m}^2, \phi = 10^0$$

UYGULAMALAR

CEVAP a

İtki



Toprak basıncı

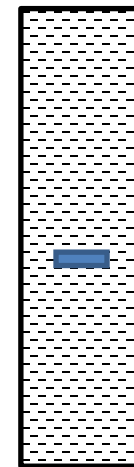
$$K_A = \tan^2\left(45 - \frac{\phi}{2}\right) = \tan^2(40) = 0.704$$

$$\sigma_A = K_A * \gamma * H$$

$$\sigma_A = 0.704 * 18.62 \text{ kN/m}^3 * 9\text{m}$$

$$\sigma_A = 118 \text{ kN/m}^2$$

Bir arada tutma



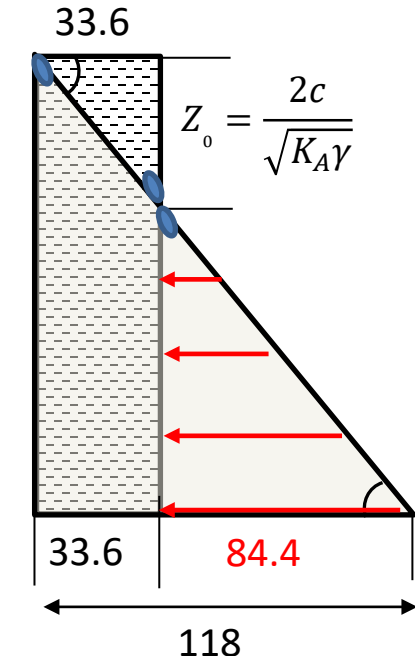
Kohezyon

$$-2c\sqrt{K_A}$$

$$-2 * 20 * \sqrt{0.704}$$

$$-33 \text{ kN/m}^2$$

Toplam diyagram



$$\frac{Z_0}{9\text{m}} = \frac{33.6}{118} = 2.6\text{m}$$

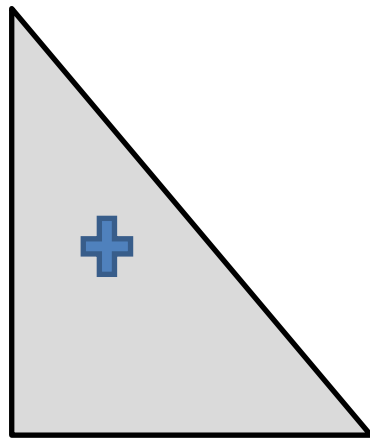
Z_0 formülinden bulunabilecegi gibi benzer üçgenlerden de hesaplanabilir.

$$P_A = \frac{1}{2} * \sigma_A * (H - Z_0) = \frac{1}{2} * 84.4 \text{ kN/m}^2 * (9 \text{ m} - 2.6\text{m}) = 270 \text{ kN/m}$$

UYGULAMALAR

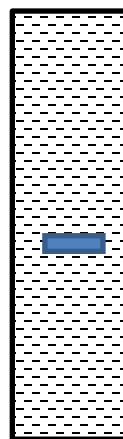
CEVAP b

İtki



Toprak basıncı

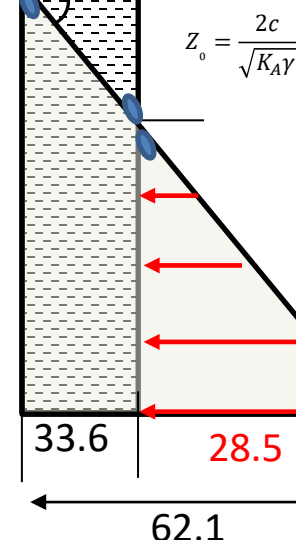
Birarada tutma



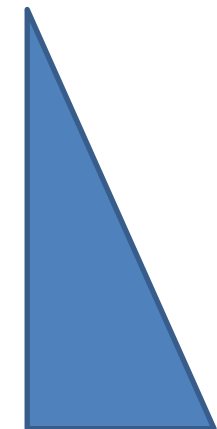
Kohezyon

Toplam diyagram

33.6



Su itkisi



88.2

$$\sigma_A = K_A * \gamma' * H$$

$$\sigma_A = 0.704 * (19.61 - 9.81) * 9$$

$$\sigma_A = 62.1 \text{ kN/m}^2$$

$$-2c\sqrt{K_A}$$

$$-2 * 20 * \sqrt{0.704}$$

$$-33 \text{ kN/m}^2$$

$$\frac{Z_0}{9m} = \frac{33.6}{62.1} = 4.87m$$

Z_0 formülünden bulunabileceği gibi benzer üçgenlerden de hesaplanabilir.

$$\sigma_W = \gamma * H$$

$$\sigma_W = 88.2 \frac{kN}{m^2}$$

$$P_{AT} = P_A + P_W$$

$$P_{AT} = \frac{1}{2} * \sigma_A * (H - Z_0) + \frac{1}{2} * \sigma_W * H_W = \frac{1}{2} * 28.5 * 4.1) + \frac{1}{2} * 88.2 * 9 = 455.75 \text{ kN/m}^2$$